

UNIVERSIDADE FEDERAL RURAL DE PERNAMBUCO UNIDADE ACADÊMICA DO CABO DE SANTO AGOSTINHO PROGRAMA DE PÓS-GRADUAÇÃO EM ENGENHARIA FÍSICA

WILLAMS APOLO SANTOS ALBUQUERQUE

Investigação do potencial fotocatalítico de heteroestruturas do tipo RuO2@ZnO-alginatohaloisita para degradação de contaminantes orgânicos

WILLAMS APOLO SANTOS ALBUQUERQUE

Investigação do potencial fotocatalítico de heteroestruturas do tipo RuO₂@ZnO-alginatohaloisita para degradação de contaminantes orgânicos

> Dissertação apresentada ao Programa de Pósgraduação em Engenharia Física, Unidade Acadêmica de Cabo de Santo Agostinho da Universidade Federal Rural de Pernambuco, como requisito parcial para a obtenção do título de Mestre em Engenharia Física.

Área de concentração: Materiais nanoestruturados

Orientador: Prof. Dr. Ramón Raudel Peña Garcia

Coorientadora: Dr^a. Pollyana de Aragão Trigueiro

WILLAMS APOLO SANTOS ALBUQUERQUE

Investigação do potencial fotocatalítico de heteroestruturas do tipo RuO₂@ZnO-alginatohaloisita para degradação de contaminantes orgânicos

Dissertação apresentada ao Programa de Pós-Graduação em Engenharia Física da Unidade Acadêmica do Cabo de Santo Agostinho da Universidade Rural de Pernambuco para obtenção do título de Mestre em Engenharia Física

Aprovada em: <u>27/02/2025</u>

| Banca Examinadora | | |
|-------------------|--|---|
| | | |
| | Prof. Dr. Ramón Raudel Peña Garcia | |
| | Orientador | |
| | | |
| | Dr ^a . Pollyana de Aragão Trigueiro | |
| | Coorientador | |
| _ | Dr ^a . Josy Anteveli Osajima | _ |
| | · | |
| | Examinador externo | |
| | Dr. Marcos Gomes Ghislandi | |

Examinador interno

DEDICATORIA

| Dedico este trabalho aos meus pais, Lucrecia Santos da Silva e Willames de Albuquerque |
|--|
| Soares, que sempre estiveram ao meu lado, me apoiando e me incentivando durante toda a |
| minha vida. |

AGRADECIMENTOS

Agradeço primeiro a Deus por todas as oportunidades que Ele me concedeu, em seguida à meus familiares que sempre apoiaram meus estudos e me incentivaram cada vez mais para que eu nunca desistisse. Gostaria de agradecer aos meus orientadores que acompanharam minha jornada científica que começou no ensino médio com o PIBIC-EM com o professor Dr. Alexandre Luis de Souza Barros onde pesquisamos sobre as deficiências dos livros de matemática do ensino médio em relação aos assuntos cobrados no Sistema Seriado de Avaliação (SSA) da UPE, na graduação o professor Dr. Rogerio Fagundes Leite que inicialmente me chamou para um PIC que se tornou meu TCC, onde o objetivo foi produzir um novo método para a produção de nanopartículas de lignina, à professora Dr^a. Verônica Cristhina de Souza Diniz que além de me chamar para o PIC, em que estudamos sobre a síntese de Hematita pelo método de combustão, durante o curso ela me mostrou o quanto engenharia de materiais era incrível, ao professor Dr. Ramón Raudel Peña Garcia que inicialmente me ensinou várias coisas sobre caracterizações de amostras e futuramente foi meu orientador de mestrado que impulsionou e guiou minha evolução acadêmica, à Dra. Pollyana de Aragão Trigueiro que foi minha coorientadora do mestrado e me ensinou diferentes formas de síntese e por último, mas não menos importante, à todos aqueles que participaram da minha vida.

RESUMO

Esta pesquisa explora a síntese e a aplicação de um novo composto RuO₂@ZnOalginato-haloisita para mitigar de forma eficaz o corante Eosina Amarela (EY) e a Ciprofloxacina (CIP). O composto apresentou uma fase predominante de óxido de zinco (ZnO), com a adição de óxido de rutênio (RuO₂), alginato e componentes de haloisita, confirmados por difratograma de raios X (DRX), Raman e Espectroscopia de Infravermelho por Transformada de Fourier (FTIR). A adição de RuO2 não alterou significativamente a estrutura cristalina, mas impactou as propriedades ópticas, com as energias de banda proibida variando de 3,281 a 3,252 eV, indicando um deslocamento para o vermelho associado ao aumento da concentração de RuO₂. Os compostos foram testados para a degradação fotocatalítica de EY e CIP sob radiação UV. Os compostos contendo 2% e 3% de RuO2 apresentaram desempenho fotocatalítico impressionante, alcançando até 82,53% de degradação de CIP e 68,68% de degradação de EY sob irradiação UV, respectivamente, destacando seu potencial como uma solução robusta para remediação ambiental. Ao investigar-se diferentes concentrações de fotocatalisador com a amostra ZAHRu3 para o corante Eosina amarela, observa-se que os resultados indicam baixa atividade fotocatalítica quando 25 mg do material é utilizado, contudo, a taxa de degradação aumenta com a utilização de quantidades maiores de fotocatalisador. No entanto, não se observa variação significativa entre o uso de 50 mg e 100 mg de fotocatalisador (1,4% de diferença). Para a amostra ZAHRu2 as diferentes concentrações de fotocatalisador, verificou-se que 50 mg (82,53% de degradação) proporcionaram resultados superiores em comparação a 25 mg (67,66% de degradação) e 100 mg (72,9% de degradação). O estudo utilizou uma série de testes de supressores para identificar as espécies reativas predominantes envolvidas na degradação fotocatalítica do medicamento ciprofloxacina e do corante eosina amarela. A introdução de benzoquinona e metanol levou a uma diminuição significativa na atividade fotocatalítica, indicando que os radicais superóxido (•O2⁻) e hidroxila (•OH) são as espécies dominantes na degradação fotocatalítica de CIP e EY, respectivamente. Os efeitos sinérgicos dessas espécies reativas contribuem significativamente para o desempenho fotocatalítico do material composto. Por fim, os compostos demonstraram boa reciclabilidade, mantendo um desempenho substancial de degradação ao longo de vários ciclos. A importância deste estudo é destacada pela necessidade urgente de encontrar métodos eficazes para remover compostos perigosos de águas residuais, uma preocupação crescente devido ao impacto nocivo desses compostos nos ecossistemas aquáticos e na saúde humana.

Palavras-chave: Fotocatálise heterogênea; Remediação ambiental; Hidrotermal; Sonoquimica.

ABSTRACT

This research explores the synthesis and application of a new compound, RuO₂@ZnO-alginatehalloysite, to effectively mitigate the dye Eosin Yellow (EY) and Ciprofloxacin (CIP). The compound exhibited a predominant zinc oxide (ZnO) phase, with the addition of ruthenium oxide (RuO₂), alginate, and halloysite components, confirmed by X-ray diffraction (XRD), Raman, and Fourier Transform Infrared (FTIR) spectroscopy. The addition of RuO₂ did not significantly alter the crystal structure but impacted the optical properties, with band gap energies ranging from 3.281 to 3.252 eV, indicating a redshift associated with the increased concentration of RuO₂. The compounds were tested for the photocatalytic degradation of EY and CIP under UV radiation. The compounds containing 2% and 3% RuO₂ exhibited impressive photocatalytic performance, achieving up to 82.53% degradation of CIP and 68.68% degradation of EY under UV irradiation, respectively, highlighting their potential as a robust solution for environmental remediation. When investigating different concentrations of photocatalyst with the ZAHRu3 sample for the Yellow Eosin dye, it was observed that the results indicate low photocatalytic activity when 25 mg of the material is used. However, the decolorization rate increases with the use of higher amounts of photocatalyst. No significant variation was observed between the use of 50 mg and 100 mg of photocatalyst (1.4% difference). For the ZAHRu2 sample, different concentrations of photocatalyst revealed that 50 mg (82.53% decolorization) provided superior results compared to 25 mg (67.66% decolorization) and 100 mg (72.9% decolorization). The study used a series of scavenger tests to identify the predominant reactive species involved in the photocatalytic degradation of ciprofloxacin and the dye Eosin Yellow. The introduction of benzoquinone and Methanol led to a significant decrease in photocatalytic activity, indicating that superoxide (${}^{\bullet}O_{2}^{-}$) and hydroxyl (•OH) radicals are the dominant species in the photocatalytic degradation of CIP and EY, respectively. The synergistic effects of these reactive species significantly contribute to the photocatalytic performance of the composite material. Finally, the compounds demonstrated good recyclability, maintaining substantial degradation performance over several cycles. The importance of this study is underscored by the urgent need to find effective methods for removing hazardous compounds from wastewater, a growing concern due to the harmful impact of these compounds on aquatic ecosystems and human health.

Keywords: Heterogeneous photocatalysis; Environmental remediation; Hydrothermal; Sonochemistry.

LISTA DE ILUSTRAÇÕES

| Figura 1: Representação geral das etapas de desenvolvimento do compósito |
|---|
| Figura 2: Difração de DRX das amostras ZAHRu, onde os picos da haloisita, óxido de rutênio |
| e óxido de zinco são evidenciados |
| Figura 3:Espectros Raman normalizados das amostras ZAHRu; os modulos vibracionais das |
| amostras são indicados pela barras |
| Figura 4: Espectros FTIR-ATR das amostras ZAHRu, as barras representam as vibrações de |
| estiramento das ligações |
| Figura 5: Deconvolução dos espectros de fotoluminesencia das amostras ZAHRu, onde cada |
| gausiana representa um tipo especifico de defeito, seguido de um grafico de barras mostrando |
| a porcentagem de vacancias |
| Figura 6: Gráfico comparativo das porcentagens de vacâncias das amostras ZAHRu29 |
| Figura 7:Espectros DRS, energia de band gap por tauc plot e os band gaps das amostras ZAHRu. |
| 31 |
| Figura 8: a) Isotermas de absorção e desorção de N_2 b) Distribuição dos poros das amostras |
| ZAHRu |
| Figura 9: MEVS das amostras ZAHRu acima seguidos de seus respectivos EDS abaixo da |
| imagem |
| Figura 10 Dados da fotocatalide da Eosina amarela representados por a) c/c0 e b) degradação |
| 36 |
| Figura 11: Teste de supressores da Eosina amarela para a amostra ZAHRu337 |
| Figura 12: a) Valores da degradação do corante EY no teste de mudança de concentração usando |
| a amostra ZAHRu3. b)Valores da degradação do corante EY pelos ciclos de reuso da amostra |
| ZAHRu3. 38 |
| Figura 13: Dados da fotocatalide da Ciprofloxacina representados por a) c/c0 e b) degradação |
| 40 |
| Figura 14: Teste de mudança de concentraçã da Ciprofloxacina para a amostra ZAHRu241 |
| Figura 15: Teste de supressores da Ciprofloxaxina para a amostra ZAHRu242 |
| Figura 16: Teste de reuso da Ciprofloxacina para a amostra ZAHRu43 |
| Figura 17: Esquema da fotocatalise das amostras ZAHRu |

LISTA DE TABELAS

| Tabela 1: Parâmetros estruturais obtidos pelo DRX das amostras ZAHRu | 25 |
|--|----|
| Tabela 2: Parametros de superfice das amostras ZAHRu | 34 |

SUMÁRIO

| 1 INTRODUÇÃO | 12 |
|--|--------------|
| 1.1 Objetivo Geral | 14 |
| 1.2 Objetivo Específico | 14 |
| 2 PROCEDIMENTOS EXPERIMENTAIS | 16 |
| 2.1 Síntese da heteroestruturas do tipo RuO ₂ @ZnO-alginato-haloisita | 16 |
| 2.1.1 Materiais | 16 |
| 2.1.2 Síntese Hidrotermal | 16 |
| 2.1.3 Síntese Sonoquimica | 17 |
| 2.2 Caracterizações | 18 |
| 2.2.1 Difratograma de Raio X (DRX) | 18 |
| 2.2.2 Espectroscopia no infravermelho com transformada de Fourier (FTIR). | 19 |
| 2.2.3 Espectoscopia Raman | 19 |
| 2.2.4 Fotoluminescência (PL) | 20 |
| 2.2.5 Espectroscopia de refletância difusa (DRS) e UV-VIS | 20 |
| 2.2.6 Microscopia eletrônica de varredura (MEV) e Espectroscopia por dispe | rsão de |
| elétrons (EDS) | 21 |
| 2.2.7 Método Brunauer Emmett Teller (BET) | 21 |
| 2.3 Testes | 22 |
| 2.3.1 Fotocatálise | 22 |
| 2.3.2 Teste de Supressores | 22 |
| 2.3.3 Teste de reuso | 23 |
| 3 CARACTERIZAÇÕES E TESTES | 24 |
| 3.1 Análise estrutural do compósito RuO ₂ @ZnO-alginato-haloisita | 24 |
| 3.1.1 Obtenção de parâmetros estruturais através dos padrões de difração de l | ORX24 |
| 3.1.2 Estudo dos módulos vibracionais dos compósitos | 25 |
| 3.1.3 Avaliação das bandas de estiramentos das amostras | 26 |
| 3.2 Caracterização ótica | 27 |
| 3.2.1 Estudo dos defeitos através das deconvolução dos espectros de fotolum | inescência27 |
| 3.2.2 Cálculo da energia de bandgap através dos dados da refletância difusa | 30 |
| 3.3 Caracterização morfológica do compósito RuO2@ZnO-alginato-haloisita | 32 |
| 3.3.1 Estudo da distribuição de poros das amostras | 32 |
| 3.3.2 Análise das formas das partículas e composição superficial do composi- | to34 |

| 3.4 Analise do desempenho fotocatalítico do compósito RuO2@ZnO-alginato-haloisita35 | |
|---|-----|
| 3.4.1 Testes na eosina amarela | .35 |
| 3.4.2 Testes na ciprofloxacina | .39 |
| 4 CONSIDERAÇÕES FINAIS | .46 |
| 4.1 Conclusões | |
| 4.2 Perspectivas futuras | |
| REFERENCIAS | .48 |

1 INTRODUÇÃO

O aumento da atividade econômica, particularmente nos países industrializados, tem liberado continuamente poluentes no meio ambiente. Encontrar um equilíbrio entre o progresso econômico e a preservação ambiental tem sido um grande desafio no que diz respeito ao gerenciamento de poluição e efluentes industriais. A cada ano, diversos setores industriais liberam aproximadamente 50.000 toneladas de corantes no meio ambiente, incluindo as indústrias têxtil, farmacêutica e de borracha (NAGAJYOTHI et al., 2020). A indústria têxtil é responsável pela liberação de muitos efluentes no meio ambiente. Esses efluentes, especialmente os coloridos, podem ser complexos, carcinogênicos e prejudiciais à vida aquática, aos microrganismos e à saúde humana. Efluentes têxteis coloridos têm um impacto negativo nos corpos d'água devido à baixa penetração de luz, aumento da turbidez e maiores necessidades de oxigênio (SHABIR et al., 2022). Assim, o tratamento de efluentes industriais antes de sua liberação no meio ambiente é crucial.

A Eosina amarela é um corante orgânico sintético de baixo custo que possui uma grande utilização na área médica e cientifica devido a sua capacidade de colorir com precisão diferentes estruturas celulares sendo assim tendo um vasto uso em microscopia de tecidos, bactérias e fungos(BOSVELI et al., 2021).

Os produtos farmacêuticos são encontrados em medicamentos de venda livre, medicamentos humanos e medicamentos veterinários. Se não tratados adequadamente, podem causar danos graves aos ecossistemas aquáticos e atuar como poluentes. As fontes desses produtos farmacêuticos incluem excreção humana, descarte direto de medicamentos vencidos ou não utilizados, águas residuais municipais, efluentes de hospitais e da indústria farmacêutica. Compostos farmacêuticos são resistentes à degradação biológica e podem manter sua estrutura química por um longo tempo, causando danos significativos ao meio ambiente (SHUKLA et al., 2021; VELEMPINI; PRABAKARAN; PILLAY, 2021). Portanto, tratamentos não convencionais são mais adequados para remover esses tipos de contaminantes.

A ciprofloxacina é um antibiótico da classe das fluoroquinolonas, amplamente utilizado no tratamento de infecções bacterianas, sua fórmula química é C₁₇H₁₈FN₃O₃, onde é uma ferramenta essencial no combate a uma ampla gama de infecções. Sua eficácia contra uma variedade de bactérias, incluindo aquelas resistentes a outros antibióticos, a tornou um medicamento de escolha para muitos tipos de infecções graves e complicadas como tuberculose e superbactéria(SHARIATI et al., 2022).

Processos de oxidação avançada (POAs) utilizam luz para tratar poluentes orgânicos tóxicos. Eles geram espécies reativas de oxigênio (ROS) que decompõem os poluentes-alvo quando expostos à luz. A fotocatálise emergiu como uma solução sustentável e ambientalmente amigável para enfrentar desafios ambientais e energéticos (DONG et al., 2024; FAN et al., 2023). Ela pode degradar moléculas de poluentes em compostos menos prejudiciais e até eliminar os contaminantes (CONTE et al., 2024; KHAN et al., 2020; OSAJIMA et al., 2023; WANG et al., 2022). ZnO e TiO2 são os semicondutores mais utilizados neste processo. No entanto, essas nanopartículas podem ser instáveis em água, tendem a se aglomerar e são dificeis de recuperar da mistura de reação. Para resolver esses desafios, os pesquisadores têm estudado maneiras de imobilizar as nanopartículas semicondutoras. A literatura comumente descreve a imobilização de nanopartículas semicondutoras na superfície de materiais como argilominerais (M et al., 2024), biopolímeros (USMAN et al., 2024), sílica (ABDEL MESSIH et al., 2024), óxido de grafeno (MYLARAPPA; CHANDRUVASAN; SANDHYA, 2024) e carbono grafítico nitreto (HARUNA et al., 2024). Esses compósitos resultantes possuem propriedades melhoradas de adsorção e fotocatálise (ZYOUD et al., 2023).

Apesar do desenvolvimento contínuo de novos fotocatalisadores, o desempenho fotocatalítico deles ainda precisa ser ajustado para atender aos requisitos das aplicações práticas. Dois fatores críticos que requerem melhoria no processo fotocatalítico são a absorção de luz e a inibição da taxa de recombinação de carga (DONG et al., 2024; FAN et al., 2023). Compostos e heteroestruturas geralmente aprimoram a separação de carga, o transporte de carga interfacial, a área superficial e a porosidade. Isso facilita a formação de espécies mais reativas, melhorando o desempenho fotocatalítico dos semicondutores. Essa abordagem pode causar defeitos locais que afetam a estrutura eletrônica. Como resultado, ela favorece a criação de interfaces entre diferentes materiais semicondutores e acelera o transporte de cargas entre eles. As alterações químicas interfaciais entre semicondutores e no arranjo atômico, podem melhorar a eficiência fotocatalítica do material e por isso dá importância de estudar as heteroestruturas (HE et al., 2021b, 2022b, 2023d, 2023e). Reddy et al. (AMARANATHA REDDY; MA; KIM, 2015) sintetizaram um nanocompósito ZnO-RGO/RuO₂ para a fotodegradação de azul de metileno. Os autores observaram a degradação completa do corante em 60 minutos de reação sob irradiação de luz solar simulada. Lee et al. (LEE et al., 2022b) desenvolveram um compósito TiO₂-halloysita encapsulado em alginato e o aplicaram na degradação de rodamina B. Os autores alcançaram uma degradação de 97,65% em 120 minutos. Mais recentemente, Sharma et al. (SHARMA et al., 2024) usaram uma heteroestrutura Ag₂CO₃/BiOBr/WO_{3-x} na remoção de azul de metileno e doxiciclina. Nesse caso, a remoção total foi de 97% e 74% para azul de metileno e doxiciclina, respectivamente. Ngo 2023 utilizou a haloisita como um substrato do compósito Ag-TiO2/rGO/Haloisita para obter uma síntese mais verde e estudar seu desempenho fotocatalítico degradando uma solução de Ciprofloxacina a uma concentração de 20ppm por 5 horas, onde sua degradação foi de aproximadamente 90% (NGO et al., 2023). Nguyen 2022 sintetizou Ag-g-C3N4@Haloisita por um método verde e fez os testes fotocatalíticos para a degradação do fármaco tetraciclina, a degradação foi de aproximadamente 95% após 4horas de exposição a luz que se manteve após ciclos de reuso (NGUYEN et al., 2022). Valiyathur 2024 produziu um material híbrido Alg/CuO-gC3N4 com base de alginato para avaliar suas propriedades fotocatalíticas e obteve uma degradação de aproximadamente de 85% do corante azul de metileno após de 1 hora de exposição a luz solar e a luz UV (VALIYATHUR et al., 2024). Wan 2022 produziu um hidrogel utilizando o alginato carregado com nano partículas de TiO2 para testar múltiplos ciclos de reuso de fotocatálise onde mesmo após 10 ciclos de fotocatálise o material se manteve degradando 95% do corante alaranjado de metila em 1 hora de exposição a luz UV (WAN et al., 2022).

Os poluentes mais significativos nos efluentes industriais são hidrocarbonetos aromáticos residuais, corantes tóxicos e antibióticos (KUMARI et al., 2023). Considerando o uso extensivo do medicamento ciprofloxacina (CIP) na medicina humana e a ampla aplicação do corante amarelo eosina em diversas indústrias multinacionais, ambas as substâncias se tornaram poluentes persistentes e resistentes no meio ambiente. Esta pesquisa tem como objetivo:

1.1 Objetivo Geral

Sintetizar novas heteroestruturas do tipo RuO₂@ZnO-alginato-haloisita para aplicação em fotocatálise, visando à remoção eficiente de contaminantes emergentes, como o corante amarelo eosina (EY) e o antibiótico ciprofloxacina (CIP), em solução aquosa. A proposta busca atender à crescente demanda por métodos de síntese rápidos, simples, eficientes e ambientalmente corretos, utilizando compostos naturais, como biopolímeros e argilominerais, em um processo livre de reagentes químicos tóxicos. A abordagem em duas etapas, envolvendo síntese hidrotermal e processamento sonoquímico, é projetada para aprimorar a integridade estrutural, as propriedades ópticas e a atividade catalítica do material, além de garantir a dispersão uniforme das nanopartículas de RuO₂ na matriz compósita.

1.2 Objetivo Específico

 Sintetizar pelo método hidrotermal e processamento sonoquímico o composto RuO₂@ZnOalginato-haloisita;

- Estudar a influência da adição de diferentes percentagens de óxido de rutênio (1, 2, 3 e 5% em peso) nas propriedades estruturais, óticas, texturais, e morfológicas na heteroestrutura, utilizando diferentes técnicas de caracterização: Difração de Raios-X, Espectroscopia de Infravermelho com Transformada de Fourier (FTIR), Adsorção/dessorção de Nitrogênio, Microscopia Eletrônica de Varredura (MEV), Espectroscopia no Ultravioleta visível (UV-Vis) por reflectância Difusa, Fotoluminescência (PL) e Raman;
- Determinar a eficiência fotocatalítica e o mecanismo de ação do composto RuO₂@ZnOalginato-haloisita para degradação de poluentes modelos sob irradiação de luz visível;
- Realizar testes de reuso, variação da concentração do fotocatalisador e estabilidade estrutural no compósito RuO₂@ZnO-alginato-haloisita, para avaliar sua viabilidade e desempenho em aplicações fotocatalíticas.

Esta dissertação, no primeiro capítulo, apresenta a introdução do trabalho e seus objetivos. O segundo capítulo descreve os materiais, os métodos de síntese e as técnicas de caracterização utilizadas. O terceiro capítulo aborda os resultados obtidos nas caracterizações mencionadas no capítulo anterior, bem como os testes de fotocatálise. No quarto e último capítulo, são apresentadas as conclusões do trabalho, seguidas das perspectivas futuras.

2 PROCEDIMENTOS EXPERIMENTAIS

2.1 Síntese da heteroestruturas do tipo RuO₂@ZnO-alginato-haloisita

2.1.1 Materiais

Para a sínteses dos compósitos, foram utilizados reagentes de alta pureza (acima de 90%), incluindo Nitrato de Zinco Zn(NO₃)₂6H₂O , Alginato de Sódio (C₈H₇(NaO)₆)_n, Haloisita Al₂Si₂O₅(OH)₄2H₂O e Óxido de Rutênio (IV) RuO₂, adquiridos da Sigma Aldrich. Água destilada foi empregada como solvente, enquanto a lavagem dos materiais foi realizada utilizando água destilada e etanol. O controle do pH foi ajustado com uma solução de NaOH (5 M).

2.1.2 Síntese Hidrotermal

O método hidrotermal é, em comparação, um processo simplificado, com menos etapas, ecológico e ajustável, permitindo o controle do tamanho das partículas, morfologia, crescimento cristalino, entre outros aspectos. Esse método se destaca pela sua capacidade de precipitar os pós já cristalizados diretamente a partir da solução reacional. O principal objetivo da utilização do método hidrotermal para a síntese de nanopartículas (NPs) de ZnO envolve diversos fatores, como a ausência de energia de estabilização de campo ligante, o efeito limitado do pH, e a influência das forças iônicas no equilíbrio octaédrico-tetraédrico do complexo aquoso de Zn(II), além da incapacidade da água de desprotonar os cátions de Zn²⁺ hidratados à pressão ambiente(VAYSSIERES, 2003). Trata-se de uma técnica que emprega reações de fase homogênea ou heterogênea em meio aquoso, a temperaturas e pressões elevadas (>25 °C e >100 kPa, respectivamente), para cristalizar as NPs diretamente a partir da solução de reação. No processo hidrotermal, a pressão autógena, correspondente à pressão de vapor saturado da solução a uma temperatura e composição específicas, é utilizada. Além disso, a pureza das NPs cristalizadas hidrotermicamente supera a dos materiais precursores, uma vez que a cristalização hidrotermal é um processo auto purificante, no qual as unidades em crescimento tendem a eliminar as impurezas presentes no meio de reação. A remoção de impurezas ocorre concomitantemente com a solução de cristalização no método hidrotermal, característica que não é observada em outros métodos sintéticos(BASNET; CHATTERJEE, 2020).

A Síntese das amostras ocorreu em duas etapas, primeiro usando o método hidrotermal onde 0,05 g de alginato de sódio e 0,5 g de haloisita foram combinados em 25 mL de água destilada dentro de um Becker. A mistura foi agitada por 30 minutos. Separadamente, 3,718 g de nitrato de zinco foram dissolvidos em 25 mL de água destilada até que uma solução homogênea fosse obtida. A solução precursora de zinco foi gradualmente combinada com o argilomineral e a

solução de alginato, e a mistura foi agitada continuamente por 30 minutos. O pH da mistura resultante foi ajustado para pH 9 pela adição de NaOH enquanto se agitava constantemente. A mistura foi então transferida para um copo fechado de Teflon e colocada em um reator hidrotermal. O sistema foi aquecido em um forno mufla a 140 °C por 13 horas. O sólido resultante foi separado por centrifugação e lavado cinco vezes com água destilada e duas vezes com etanol para remover quaisquer resíduos. Finalmente, o sólido foi seco a 100 °C por 6 horas finalizando a primeira etapa, a segunda etapa da síntese consiste na síntese sonoquimica.

2.1.3 Síntese Sonoquimica

A síntese sonoquímica tem atraído considerável interesse no âmbito de sínteses verde, devido à sua natureza econômica, ou seja, à capacidade de reduzir a necessidade de reagentes adicionais durante o processo sintético. As ondas sonoras geradas por um objeto em vibração são fontes de energia mecânica e pressão, neste método, as ondas sonoras são empregadas para ativar materiais precursores durante as reações químicas. Este processo é considerado de baixa potência, proporcionando uma redução significativa no tempo de precipitação na preparação de diversos semicondutores, além de resultar na síntese de materiais com morfologia uniforme e homogênea. Quando as ondas sonoras interagem com os materiais precursores, a energia associada origina a formação de bolhas na mistura reacional. A duração dessas bolhas é extremamente curta, uma vez que elas se expandem e se rompem rapidamente devido à cavitação acústica. Durante a formação e a desintegração das bolhas, uma região de alta tensão é gerada nas proximidades, elevando a temperatura local e criando uma área de alta pressão, aproximadamente 20 MPa. Esse aumento súbito de temperatura ativa os materiais precursores de maneira acelerada, resultando em cristalização em intervalos de tempo extremamente curtos. A energia cinética adquirida pelos precursores provoca colisões intensas entre as moléculas reativas, levando à formação de diferentes morfologias e à distribuição uniforme das nanoestruturas, dependendo da intensidade das ondas sonoras aplicadas(QI et al., 2022). A segunda etapa consiste no método sonoquímico, onde o óxido de rutênio foi incorporado via ultrassom nas amostras. A amostra obtida na etapa hidrotermal foi designada como ZAHRu0 (0% em peso de RuO2). Especificamente, 200 mg da amostra previamente sintetizada (ZAHRu0) foram misturados com as respectivas porcentagens em peso de óxido de rutênio (1%, 2%, 3% e 5%) em 100 mL de água destilada. A mistura foi submetida à ultrassonicação usando uma micro ponta a 20 kHz, com um ciclo de pulso de 2 segundos ligado e 2 segundos desligado, por 45 minutos. Após a reação, as amostras foram secas a 100 °C por 6 horas. Os

compostos resultantes foram designados de acordo com a porcentagem em peso de óxido de

rutênio: ZAHRu1 (1% em peso de RuO₂), ZAHRu₂ (2% em peso de RuO₂), ZAHRu3 (3% em peso de RuO₂) e ZAHRu5 (5% em peso de RuO₂). A Figura 1 ilustra o esquema geral da síntese e formação desses compósitos.

Haloisita

+
ZnO Alginato

Metodo Hidrotermal

ZnO-Alginato-Haloisita

+ RuO2

Metodo Sonoquimico

Figura 1: Representação geral das etapas de desenvolvimento do compósito

Fonte: O Autor (2024)

2.2 Caracterizações

2.2.1 Difratograma de Raio X (DRX)

A difração de raios X é uma técnica amplamente empregada para a análise de estruturas cristalinas e o estudo do espaçamento atômico. Ela se baseia na interferência construtiva de raios X monocromáticos com uma amostra cristalina. Os raios X são gerados em um tubo de raios catódicos, filtrados para produzir radiação monocromática, colimados para concentrar a radiação e, em seguida, direcionados à amostra. Os raios X difratados são então detectados, processados e contados. Ao realizar uma varredura da amostra em uma gama de ângulos 20, todas as possíveis direções de difração da rede podem ser alcançadas devido à orientação aleatória do material em pó. A interação dos raios incidentes com a amostra resulta em interferência construtiva (e na formação de um raio difratado) quando as condições atendem à Lei de Bragg, expressa pela equação:

$$n\lambda = 2d\sin(\theta) \tag{1}$$

Onde n é um número inteiro, λ é o comprimento de onda dos raios X, d é o espaçamento interplanar que origina a difração e θ é o ângulo de difração. Esta lei relaciona o comprimento de onda da radiação eletromagnética ao ângulo de difração e ao espaçamento da rede cristalina na amostra. A conversão dos picos de difração para os espaçamentos d permite a identificação do composto, uma vez que cada substância possui um conjunto único de valores de d(BUNACIU; UDRIȘTIOIU; ABOUL-ENEIN, 2015). Este processo geralmente é realizado por meio da comparação com fichas cristalográficas já existentes em diversas bases de dados. Para esta caracterização, foi utilizado um difratômetro de raios X, modelo D8 Advance da Bruker com radiação Cu-K α (λ =1,5406 Å) com filtro de níquel. Todas as amostras foram caracterizadas em forma de pó a uma velocidade de 1s por passo no intervalo de 2º a 80º 2 θ . O DRX utilizado, está instalado no Centro Multiusuário de Pesquisa e Caracterização de Materiais (CEMUPEC), da Universidade Federal Rural de Pernambuco.

2.2.2 Espectroscopia no infravermelho com transformada de Fourier (FTIR)

A espectroscopia de infravermelho ela mostra os grupos funcionais associados através da vibração molecular correspondente em cada banda de absorção característica. Um modo vibracional é ativo pelo infravermelho absolvido pela amostra que altera o seu momento dipolo causando as vibrações, essas vibrações não podem ser detectadas se forem simétricas, só as moléculas assimétricas são detectadas.(BERTHOMIEU; HIENERWADEL, 2009)

Foi utilizado um espectrômetro FTIR da Agilent Technologies, modelo CARY 630, no intervalo de 500 a 2000 com o modo ATR para fazer a análise. O FTIR está localizado no Departamento de Ciências Farmacêuticas (DCFAR) da Universidade Federal de Pernambuco.

2.2.3 Espectoscopia Raman

Quando a radiação monocromática é incidida na amostra com uma frequência inicial parte dessa radiação é espalhada e nessa radiação espalhada além da radiação inicial é obtida radiações de diferentes frequências, esse espalhamento inelástico é descrito pela interação do fóton incidente e dos novos fótons gerados após a absorção do material e com isso são quantizados a energia molecular e as percas de energia dos fótons de uma forma semelhante ao FTIR. As informações obtidas pelo Raman são similares as obtidas pelo FTIR e complementares devido a diferente forma de analisar o material(KUDELSKI, 2008).

Foi utilizado um espectrômetro Raman modelo Bruker Santerra acoplado a um microscópio Olympus BX50, o comprimento de onda do laser foi de 532nm com uma abertura do feixe de

500nm com uma potência de 10%. O Espectrômetro Raman está instalado no Laboratório de Física dos Materiais (FisMat) da Universidade Federal do Piauí

2.2.4 Fotoluminescência (PL)

O PL é definido como a radiação emitida do estado excitado eletrônico de uma molécula para seu estado eletrônico fundamental, após absorver a energia luminosa de uma fonte externa que leva à sua excitação onde é medida a intensidade, tempo de vida e sua forma. Essa técnica pode ser utilizada em semicondutores sólidos para ver a relação a conversão de energia luminosa em energia química através da excitação desses materiais onde ocorre uma recombinação radiativa de elétrons fotoformados na banda de condução (CB) e lacunas na banda de valência (VB) na superfície. Atualmente, a PL é amplamente usada como uma das ferramentas fundamentais para estudar a coordenação local de cátions metálicos e ânions de oxigênio em catalisadores de óxidos a granel, os sítios ativos de catalisadores heterogêneos de sítio único altamente dispersos, as perturbações estruturais e os mecanismos de reações catalíticas e fotocatalíticas em materiais semicondutores inorgânicos e orgânicos devido à sua maior sensibilidade em nível molecular e à natureza não destrutiva(LI; ANPO; WANG, 2020).

Foi utilizado um espectrofotômetro Horiba- JobinYvon Fluorolog-3 para determinar os espectros de banda de energia e fotoluminescência à temperatura ambiente (RT-PL) com uma excitação de 335nm. O espectrofluorômetro está instalado no Departamento de Química Fundamental da Universidade Federal de Pernambuco.

2.2.5 Espectroscopia de refletância difusa (DRS) e UV-VIS

O DRS é uma caracterização que emite um feixe de luz monocromática na amostra fazendo com que ela interaja e ocorra uma reflexão difusa e sua intensidade é registrada em cada comprimento de onda analisado, fornecendo suas propriedades óticas. Através dos resultados do DRS utilizando o método Tauc plot é possível obter a energia de band gap do material para que possa otimizar a geração de elétrons/buracos dos materiais semicondutores(LANDI et al., 2022). O UV-VIS irradia um feixe de luz monocromático paralelo a amostra onde ela absorbe parte da energia da luz, que ao passar por um detector, é possível calcular a absorbância do material em diferentes comprimentos de onda de acordo com a lei de Lambert-Beer representada pela equação:

$$A = log(T - 1) = Kal \tag{2}$$

Onde o "A" representa a Absorbância, "T" a transmitância, "K" é o coeficiente de adsorção molar naquele comprimento de onda, "a" é a concentração da amostra em mol/L e "l" é a largura da amostra. A técnica permite analisar poluentes na água devido ao poluente absorver um comprimento de onda específico(GUO et al., 2020).

Para o DRS foi utilizado o UV-VIS Shimadzu, UV-2700, onde foram analisados os comprimentos de onda de 200nm e 800nm no modo de refletância. Para análise do UV-VIS também foi utilizado o UV-VIS Shimadzu, UV-2700, onde foram analisados os comprimentos de onda de 520nm e 275nm para o corante Eosina amarela e o fármaco Ciprofloxacina respectivamente no modo de absorbância. O UV-VIS está instalado no Centro Multiusuário de Pesquisa e Caracterização de Materiais (CEMUPEC), da Universidade Federal Rural de Pernambuco.

2.2.6 Microscopia eletrônica de varredura (MEV) e Espectroscopia por dispersão de elétrons (EDS)

O MEV é uma técnica de espectroscopia que permite o estudo morfológico das amostras sejam elas em escala micro ou macro superando a limitação de apenas 1000 magnificações da microscopia ótica, onde ocorre um bombardeamento de elétrons fazendo uma varredura na amostra e a partir da sua interação ocorrera a emissão de um elétron secundário e o espalhamento dos elétrons, usando um detector a imagem é gerada devido a análise dessa interações, o EDS é uma técnica com um funcionamento semelhante que tem como objetivo identificar a composição superficial da amostra (ALI; ZHANG; SANTOS, 2023).

A microestrutura foi analisada com uma diferença de potencial de 5kV a uma magnificação de 15kx, usando o MEV modelo TESCAN VEGA3, correspondente a um sistema de emissão termiônica de tungstênio, adequado para operações de alto e baixo vácuo, acoplado de um EDS. O MEV está instalado no Centro Multiusuário de Pesquisa e Caracterização de Materiais (CEMUPEC), da Universidade Federal Rural de Pernambuco.

2.2.7 Método Brunauer Emmett Teller (BET)

Um dos métodos de análise de área superficial de materiais e de suas porosidades mais comum utiliza uma técnica de adsorção-dessorção a de N₂ aplicado em múltiplos pontos utilizando as isotermas de sorção onde é analisado o comportamento de adsorção do gas superficial e a variação da pressão do gás para converter seu valor em área superficial e tamanho e distribuição de poros(BLATTMANN; PLÖTZE, 2024), onde através do método BET (Brunauer Emmett Teller) e do método BHJ (Barrett Joyner Halenda) foram estimados a área superficial e o volume

e diâmetro médio dos poros respectivamente(BARDESTANI; PATIENCE; KALIAGUINE, 2019).

As áreas de superfície e as distribuições de tamanho de poros foram determinadas a partir de medições de adsorção-dessorção de N₂ utilizando um instrumento Quantachrome Autosorb- iQ. O equipamento está instalado no Departamento de Engenharia Química da Universidade Federal de Pernambuco.

2.3 Testes

2.3.1 Fotocatálise

A fotocatálise, um dos processos de oxidação avançada (POAs) utilizados para remediações ambientais. Este processo possui algumas vantagens, como a possibilidade de uso da luz solar, baixa toxicidade, operação em pressão e temperatura ambiente, e a capacidade de mineralizar os contaminantes orgânicos em produtos como água e CO₂. O processo começa com um semicondutor absorvendo luz (UV ou visível) com energia superior à sua energia de band gap, o que provoca a promoção de um elétron da banda de valência para a banda de condução, criando uma lacuna na banda de valência que dá início a reações de oxidação e redução podendo degradar os poluentes(PUGA; NAVÍO; HIDALGO, 2024).

A remoção fotocatalítica do corante Eosina amarela e do fármaco Ciprofloxacina como poluentes foi realizada em um reator de borossilicato conectado a um banho termostático com a temperatura de 24 °C ± 1 °C. Foi utilizado uma lâmpada UV de 125 W foi empregada na configuração experimental. O sistema de reação consistiu em 50mg de fotocatalisador e 100mL do poluente a uma concentração de 10 mg/ L. Inicialmente, o sistema em agitação foi mantido no escuro por 30 minutos, após o que a lâmpada UV foi ligada. Alíquotas foram coletadas em vários intervalos de tempo ao longo do experimento (0, 20, 40, 60, 90, 120, 180 e 240 minutos). A absorbância do corante EY a 520 nm e CIP a 275 nm foi medida usando um espectrofotômetro Shimadzu UV-2700 na faixa de comprimento de onda de 200 a 800 nm. O UV-VIS está instalado no Centro Multiusuário de Pesquisa e Caracterização de Materiais (CEMUPEC), da Universidade Federal Rural de Pernambuco.

2.3.2 Teste de Supressores

Para testes de supressores, vários reagentes inibidores foram empregados para determinar as principais espécies envolvidas no processo de remoção de corantes e fármacos. Os testes de inibidores foram realizados usando os mesmos parâmetros dos testes iniciais de fotocatálise. O sistema foi deixado no escuro por 30 minutos, após os quais a lâmpada foi ligada e amostras

foram coletadas em intervalos por um total de 240 minutos. Durante esses testes, uma quantidade específica de cada inibidor foi adicionada no início da reação. Então, nitrato de prata (AgNO₃), ácido etilenodiaminotetracético (EDTA), álcool metílico (Met(OH)) e benzoquinona (BQ) foram considerados para capturar espécies ativas, como elétrons (e⁻), buracos (h⁺), radicais hidroxila (•OH) e radicais superóxido (•O₂⁻), respectivamente.

2.3.3 Teste de reuso

Os testes de reuso foram conduzidos em três ciclos para avaliar a estabilidade e a reutilização dos materiais. A condição inicial do teste de reuso foi a mesma do teste fotocatalítico onde 50mg/L de fotocatalisador e 10 mg/L de poluentes modelo em 100mL de solução durante os testes. O sistema foi mantido no escuro por 30 minutos e então exposto à luz UV por um máximo de 240 minutos. Para cada ciclo, uma nova solução modelo foi utilizada mantendo a concentração inicial, e o material foi recuperado por centrifugação, seco e então reutilizado no ciclo subsequente.

2.3.4 Teste de mudança de concentração

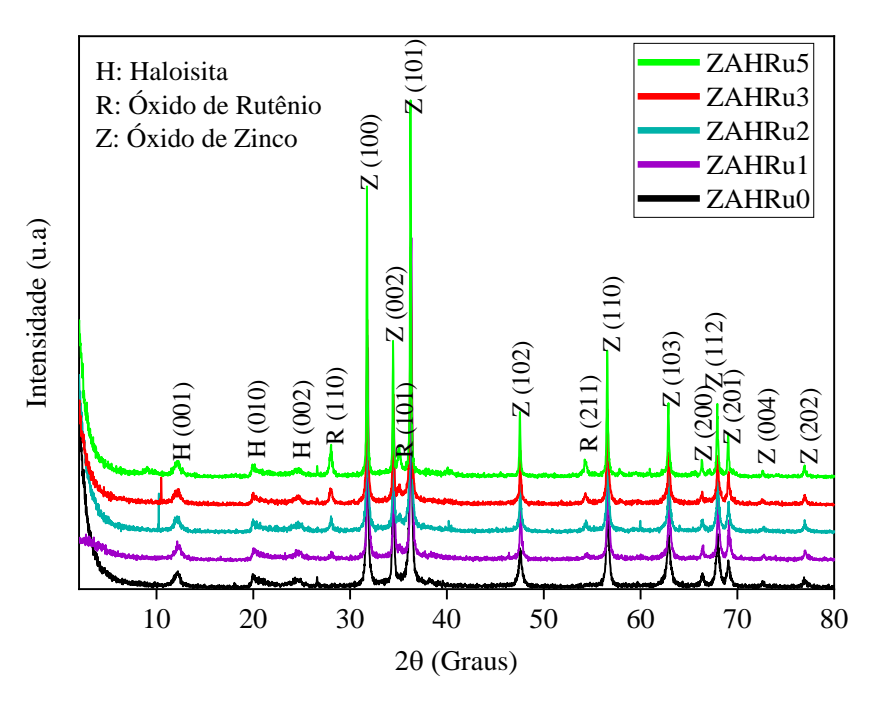
Utilizando a amostra com o melhor resultado fotocatalítico de cada poluente o teste de mudança de concentração altera as concentrações do fotocatalisador para 25mg e 100mg mantendo a concentração e volume do poluente nos mesmos parâmetros da fotocatálise inicial para avaliar uma possível concentração ideal.

3 CARACTERIZAÇÕES E TESTES

- 3.1 Análise estrutural do compósito RuO2@ZnO-alginato-haloisita
- 3.1.1 Obtenção de parâmetros estruturais através dos padrões de difração de DRX

Os padrões de difração de DRX do compósito do tipo RuO₂@ZnO-alginato-haloisita são mostrados na Figura 2. Os planos característicos (001), (010) e (002) em $2\theta = 12,18, 20,02$ e 24,55 do argilomineral haloisita (número COD 96-900-4180); (100), (002), (101), (102), (110), (103), (200), (112), (210), (004) e (202) em $2\theta = 31,71, 34,51, 36,37, 47,53, 56,57, 62,94, 66,40, 67,85, 69,05, 72,51$ e 77,02 de óxido de zinco (número do cartão JCPDS 96-154-1966); e (110), (101), (200) e (211) em $2\theta = 28,00, 35,05, 40,3$ e 54,50 do óxido de rutênio (número do cartão JCPDS 96-100-0059) foram observados (HE et al., 2022a). Neste caso, descobriu-se que a haloisita tinha um espaçamento entre camadas (d 001) correspondente a 7,7 Å, ($2\theta = 12,18$). Além disso, observamos a estrutura wurtzita hexagonal de ZnO e a estrutura cristalográfica tetragonal de RuO₂.

Figura 2: Difração de DRX das amostras ZAHRu, onde os picos da haloisita, óxido de rutênio e óxido de zinco são evidenciados.



Fonte: O Autor (2024)

Foi notado que a adição de alginato e nanopartículas metálicas não alterou significativamente a estrutura cristalina do argilomineral. Essas observações sugerem que o compósito RuO₂@ZnO-alginato-haloisita foi sintetizado com sucesso. Estudos anteriores descobriram que o alginato não altera a estrutura cristalina da montmorilonita e do caulim (RÂPĂ et al., 2021).

Além disso, houve observações da incorporação uniforme de ZnO na estrutura da haloisita (ZSIRKA et al., 2022) e da deposição superficial de RuO₂ na superficie externa da montmorilonita (PAWAR; CHIKATE, 2021). A Tabela 1 apresenta os valores de *a, c, D* e ε para as amostras ZRuAH0, ZRuAH1, ZRuAH2, ZRuAH3 e ZRuAH5. Nenhuma mudança significativa foi observada nas constantes de rede; no entanto, o tamanho do cristalito aumenta nas amostras contendo óxido de rutênio, em comparação com a amostra ZRuAH0. A mudança em *D* pode estar ligada a um aumento no estresse de rede ou efeitos de interface (PEÑA-GARCIA et al., 2020, 2021). Nesse cenário, a estrutura pode reagir aumentando o tamanho do cristalito para reduzir o estresse da rede causado pela presença de outros materiais. Essa hipótese pode ser corroborada pela diminuição observada na deformação de rede à medida que o tamanho do cristalito aumenta.

Tabela 1: Parâmetros estruturais obtidos pelo DRX das amostras ZAHRu.

| Amostras | a (Å) | c (Å) | D (nm) | ε (%) |
|----------|--------|--------|--------|--------|
| ZAHRu0 | 3,2493 | 5,2034 | 24 | 0,0035 |
| ZAHRu1 | 3,2431 | 5,1916 | 37 | 0,0024 |
| ZAHRu2 | 3,2497 | 5,2001 | 35 | 0,0024 |
| ZAHRu3 | 3,2497 | 5,1999 | 35 | 0,0024 |
| ZAHRu5 | 3,2522 | 5,2044 | 56 | 0,0015 |

Fonte: O Autor (2024)

3.1.2 Estudo dos módulos vibracionais dos compósitos

Espectroscopia Raman e FTIR foram usadas para analisar a estrutura química das amostras mostradas nas Figuras 3 e 4 Os espectros Raman normalizados, para o tipo de compósito RuO2 @ZnO-alginato-haloisita, são apresentados na Figura 3. Os espectros mostram que o E2(Low) (relacionado à vibração da sub-rede do Zn) e E2(High) (relacionado à vibração do átomo de oxigênio) são os modos ópticos mais intensos em 101cm⁻¹ e 433cm⁻¹, respectivamente, que são característicos de ZnO. Isso confirma que o compósito consiste predominantemente na fase wurtzita hexagonal de ZnO (ALEKSIĆ et al., 2023; SOARES et al., 2023, 2024b), conforme observado no padrão do DRX. Além disso, os modos vibracionais 2E2(Low), E2(High)-E2(Low), A1(LO) e E1(LO) aparecem apenas em certas amostras. Isso pode ser devido aos diversos materiais com características distintas presentes no compósito (alginato, haloisita e óxido de rutênio), que podem dificultar o surgimento de vários modos vibracionais. Modos mais fracos podem ser suprimidos pela inclusão de outros materiais na matriz ou devido às limitações do

equipamento. Além disso, é notado na literatura que alguns desses modos (2E_{2(Low)}, A₁(LO) e E₁(LO)) são atribuídos a defeitos estruturais, que ocorrem como resultado do método de síntese, variação de temperatura e pH, adição de dopante ou formação de compósito estrutural. Os picos menos intensos em 232 cm⁻¹ e 324 cm⁻¹ são atribuídos ao modo fônon 2E_{2(Low)} e ao multifóton E_{2(High)}–E_{2(Low)}, respectivamente, enquanto os picos em 525cm⁻¹ e 579cm⁻¹ são atribuídos a um A₁(LO) e E₁(LO) ópticos longitudinais, respectivamente. Finalmente, com menor intensidade, os picos em 529cm⁻¹(Eg), 640 cm⁻¹ (A₁g) e 696 cm⁻¹ (B₂g) são característicos do espectro Raman RuO(ALEKSIĆ et al., 2023; DEVADAS; BARANTON; COUTANCEAU, 2020; KIM et al., 2010).

ZRuAH2-ZRuAH5 -ZRuAH3-ZRuAH1— - ZRuAH0 $E_2(High)-E_2(Low)$ E1(LO) $E_2(High)$ $A_1(LO)$ A_{1g} B_{1g} Intendidade Raman (u.a) $E_2(Low)$ $2E_2(Low)$ 300 100 200 400 500 600 700 Deslocamento Raman(cm⁻¹)

Figura 3:Espectros Raman normalizados das amostras ZAHRu; os modulos vibracionais das amostras são indicados pela barras.

Fonte: O Autor (2024)

3.1.3 Avaliação das bandas de estiramentos das amostras

A Figura 4 exibe os espectros de FTIR dos compósitos para analisar suas diferentes composições. Múltiplas bandas de estiramento características do argilomineral haloisita como vibrações de estiramento perpendicular Si–O em 1121 cm⁻¹ e a banda Al₂ –OH em 907 cm⁻¹ (KHODDAM et al., 2023). Além disso, a banda OH em 748 cm⁻¹, atribuída às vibrações translacionais das unidades OH de haloisita, é visível nos espectros (SZCZEPANIK et al., 2015, 2017). Além disso, a vibração de estiramento C–O em 1029 cm⁻¹ é característica do alginato

usado durante o processo de síntese (PAPAGEORGIOU et al., 2010). Por outro lado, o sinal de banda larga em torno de 525 cm⁻¹ alinha-se com o modo de vibração de estiramento Zn–O característico do ZnO puro (DE SÁ et al., 2024; PEÑA-GARCIA et al., 2020). Notavelmente, este sinal sofre alterações com o aumento das concentrações de óxido de rutênio, potencialmente ligadas a variações na tensão e deformação da rede, afetando consequentemente os ângulos ou comprimentos de ligação do Zn–O. Finalmente, nenhum modo de estiramento Ru–O característico foi observado nos espectros, porque a banda típica para este óxido aparece perto de 490cm⁻¹ (KHORSHIDI; SADEGHI, 2016). Em conclusão, não são observadas mudanças nos picos, o que pode indicar que as interações podem ser devidas a ligações de hidrogênio entre os grupos hidroxila dos alginatos e da haloisita. Além disso, ligações de hidrogênio e interações eletrostáticas governam as interações entre ZnO, alginato e o argilomineral. Esses resultados fornecem mais evidências da formação de compósitos.

ZRuAH0 ZRuAH1 ZRuAH2 ZRuAH3 ZRuAH5 Si-O C-O Al-OH -OH O-H Zn-O Intensidade (a.u) 1000 1200 800 600 Comprimento de onda (cm⁻¹)

Figura 4: Espectros FTIR-ATR das amostras ZAHRu, as barras representam as vibrações de estiramento das ligações.

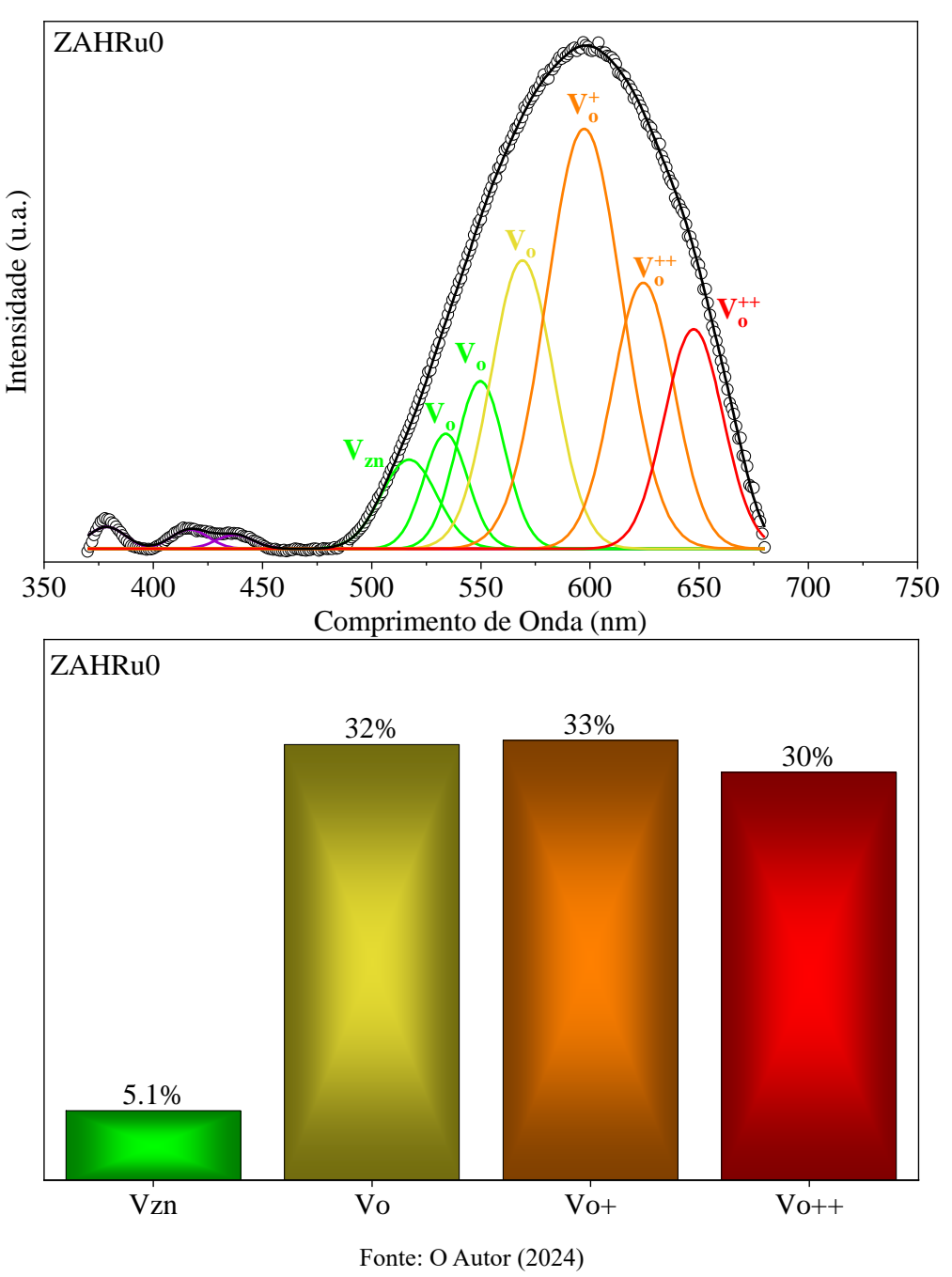
Fonte: O Autor (2024)

3.2 Caracterização ótica

3.2.1 Estudo dos defeitos através das deconvolução dos espectros de fotoluminescência A Figura 5 exibe o Espectros RT- PL para os compósitos ZnO-alginato-haloisita, medidos com um comprimento de onda de excitação de 355nm. A banda em ~ 378nm é atribuída à emissão de borda de banda ou recombinação excitônica, e o pico de emissão visível é associado à

desordem atômica (ROCHA et al., 2023). Resultados semelhantes foram relatados para compostos baseados em ZnO e dopados com outros cátions (COSTA-SILVA et al., 2022; MARTINS et al., 2024; ROCHA et al., 2023; SOARES et al., 2022)

Figura 5: Deconvolução dos espectros de fotoluminesencia das amostras ZAHRu, onde cada gausiana representa um tipo específico de defeito, seguido de um grafico de barras mostrando a porcentagem de vacancias.



Na Figura 6 exibe o Espectros RT- PL para os compósitos RuO₂ @ZnO-alginato-haloisita, vale a pena notar que a banda NBE está ausente na amostra ZAHRu3, o que pode ser devido à desordem atômica estrutural. Para todos os compósitos, a banda larga na região de emissão visível foi ajustada usando uma função gaussiana para identificar a superposição de múltiplas

posições de emissão e quantificar a concentração de desordem atômica (HE et al., 2021a, 2022a, 2023a, 2023b, 2023c). Analisando a área sob cada curva gaussiana, é possível estimar a porcentagem relativa de desordem atômica.

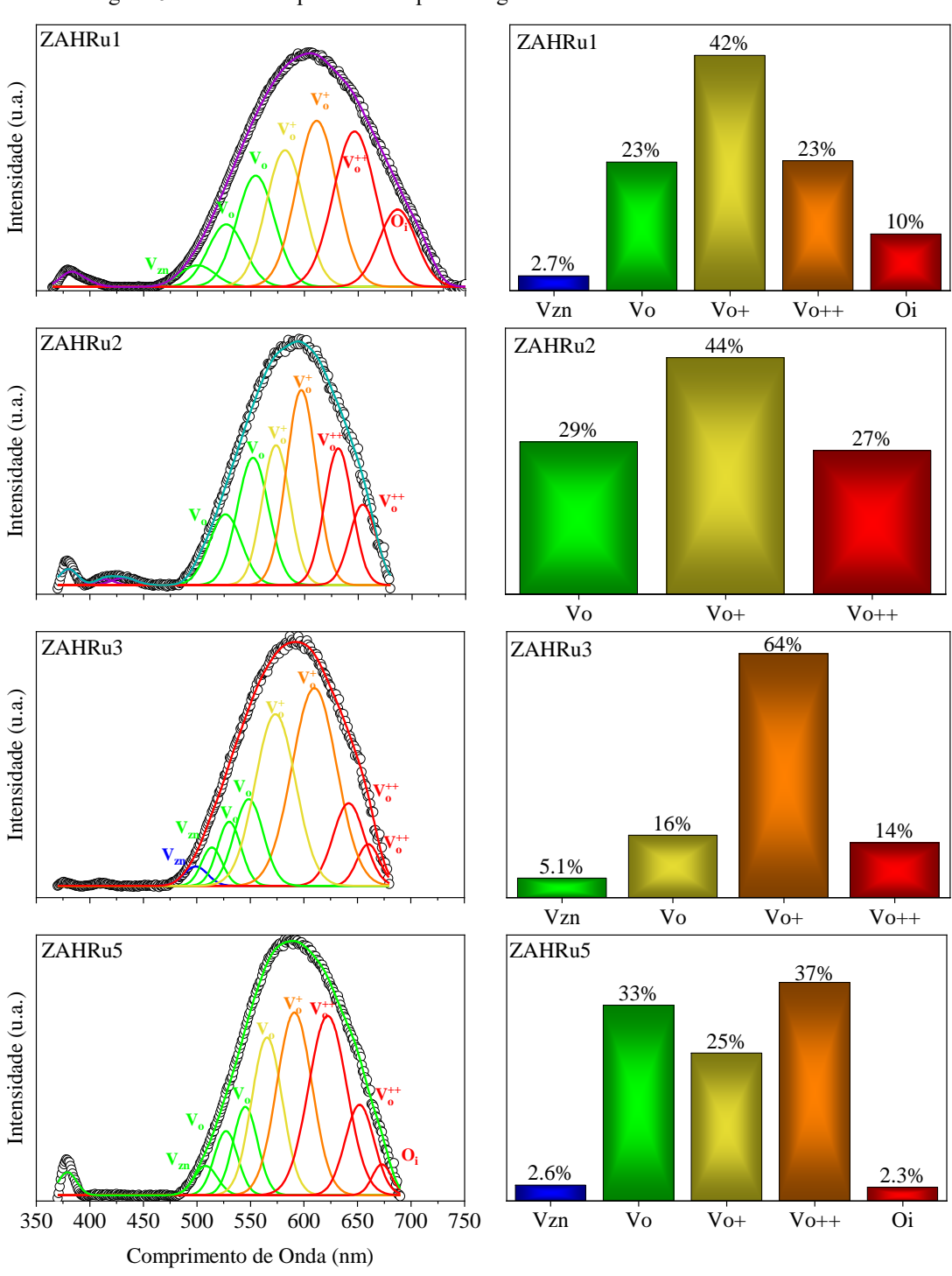


Figura 6: Gráfico comparativo das porcentagens de vacâncias das amostras ZAHRu.

Fonte: O Autor (2024)

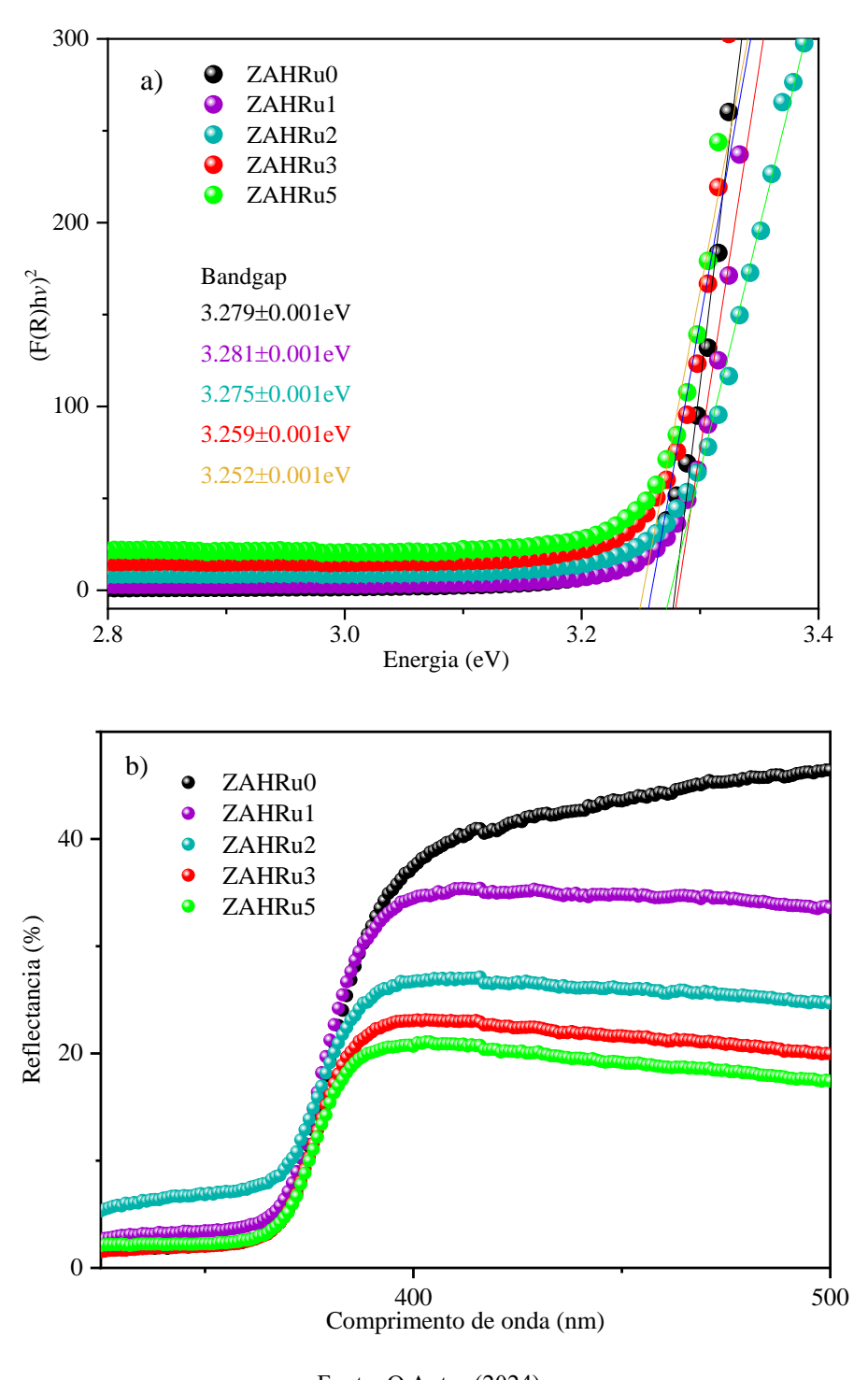
Quatro defeitos foram encontrados para as amostras ZAHRu0, ZAHRu2, ZAHRu3 e ZAHRu5, enquanto cinco foram encontrados para a amostra ZAHRu1. Todos os defeitos são característicos de compostos baseados em ZnO. As vacâncias de zinco (Vzn) são encontradas entre 480-520nm, as vacâncias de oxigênio neutro (VO) estão localizadas entre 520-570nm, as vacâncias de oxigênio de carga única (VO +) são observadas na faixa de 570-620nm, as vacâncias de oxigênio duplamente ionizado (VO +) emergem entre 620-670nm, e o oxigênio intersticial (O_i) é encontrado entre 670-720 nm (este último aparecendo apenas na amostra ZAHRu1) (COSTA-SILVA et al., 2022; MARTINS et al., 2024; ROCHA et al., 2023).

Conforme observado, a adição de óxido de rutênio até 2% não altera a porcentagem de vacâncias de zinco no compósito, que permanece constante em 6%. Entretanto, uma diminuição desse defeito intersticial é observada em amostras contendo 3% (ZAHRu3) e 5% de óxido de rutênio (ZAHRu5), acompanhada de um aumento na soma total de defeitos de VO, VO⁺ e VO⁺⁺. Essas variações na desordem atômica estrutural podem diminuir a lacuna de energia nas amostras ZAHRu3 e ZAHRu5. Dessa forma, as mudanças na lacuna de banda e na porcentagem de defeitos nas amostras podem estar associadas à distribuição de óxido de rutênio dentro do compósito. Dado que o método de solução sonoquímica foi usado para sintetizar esse material, os efeitos térmicos e a agitação constante influenciaram a distribuição e o arranjo estrutural desse óxido no composto, resultando em mudanças significativas nas propriedades estruturais e ópticas do material.

3.2.2 Cálculo da energia de bandgap através dos dados da refletância difusa

A Figura 7 exibe a lacuna de banda de energia (Eg), e o detalhe apresenta os espectros de reflectância para os compósitos RuO₂@ZnO-alginato-haloisita. Conforme mostrado no detalhe (Figura 7), o compósito ZnO-alginato-haloisita exibe menor reflectância em comparação com outros compostos baseados em ZnO relatados na literatura (FRANÇA et al., 2023a, 2023b; ROCHA et al., 2023). Além disso, conforme a concentração de óxido de rutênio aumenta de 1% para 5%, a reflectância diminui e há um deslocamento da absorção óptica em direção a comprimentos de onda maiores. O desvio para o vermelho pode ser atribuído à variação da desordem atômica ou ao surgimento de novos defeitos na estrutura baseada em ZnO (COSTA-SILVA et al., 2022; JERÔNIMO et al., 2024; MARTINS et al., 2024).

Figura 7:Espectros DRS, energia de band gap por tauc plot e os band gaps das amostras ZAHRu.



Fonte: O Autor (2024)

A função Kubelka-Munk foi usada para estimar a lacuna de banda de energia a partir do gráfico de (α hv) 2 versus a energia do fóton (hv) (MARTINS et al., 2024; PEÑA-GARCIA et al., 2020). O coeficiente de absorção α foi calculado a partir de:

$$\alpha = \frac{(1 - R')^2}{2R'} \tag{6}$$

$$R' = \frac{R}{100} \tag{7}$$

Aqui, R é a reflectância. A partir do Tauc plot, a lacuna de banda de energia pode ser obtida extrapolando a parte linear dos dados experimentais ao longo do eixo x (Figura 7) (LINS et al., 2023; MARTINS et al., 2024; PEÑA-GARCIA et al., 2020). Os valores de E g obtidos foram $3,279 \pm 0,001$, $3,281 \pm 0,001$, $3,275 \pm 0,001$, $3,259 \pm 0,001$ e $3,252 \pm 0,001$ eV, para as amostras ZAHRu0, ZAHRu1, ZAHRu2, ZAHRu3, ZAHRu5, respectivamente.

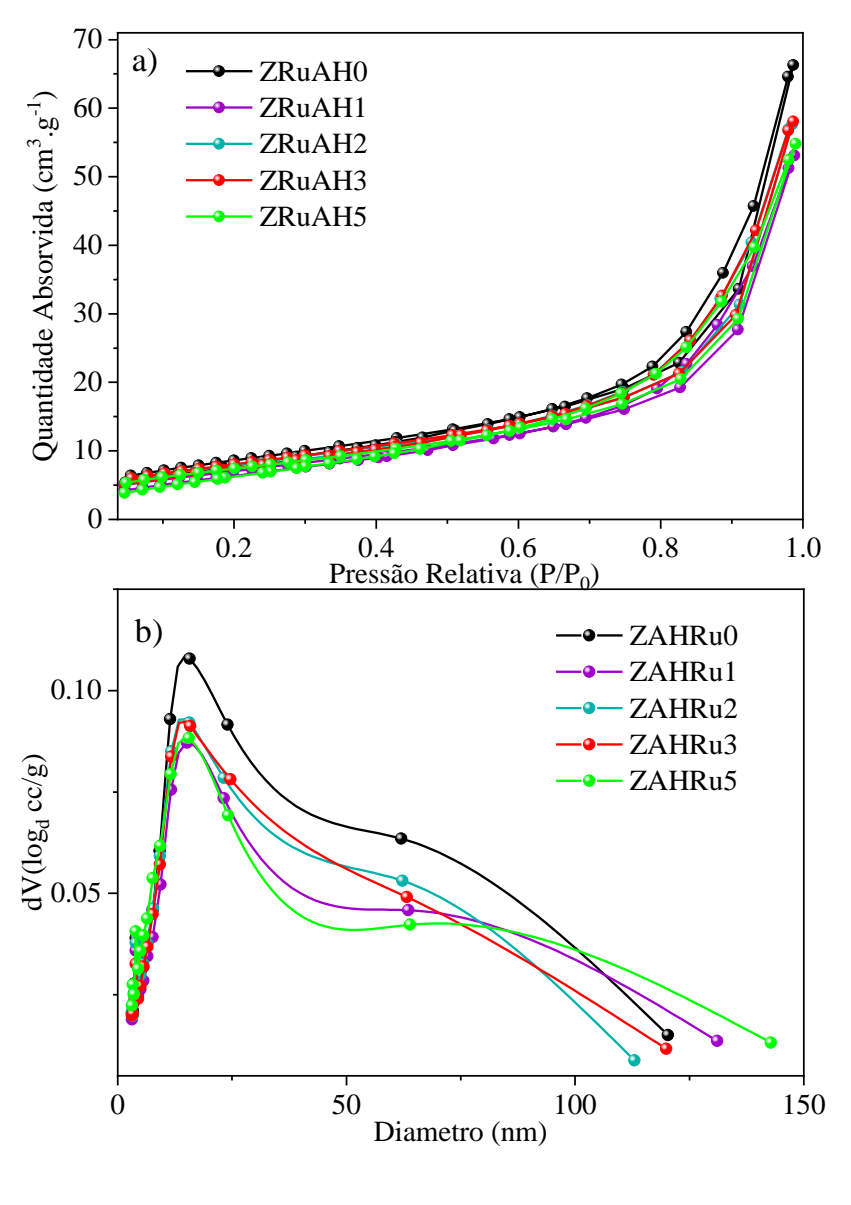
Não foram observadas alterações significativas na banda proibida nos compósitos contendo ZnO-alginato-haloisita, mesmo até 2% de óxido de rutênio. No entanto, uma ligeira diminuição em E g é observada para os compósitos contendo 3% e 5% de óxido de rutênio. Este resultado pode ser atribuído à transferência de carga entre os elétrons do nível 4f e as bandas de condução ou valência do ZnO, induzidas pelo estresse e deformação resultantes da alta concentração de óxido de rutênio (ROCHA et al., 2023).

3.3 Caracterização morfológica do compósito RuO₂@ZnO-alginato-haloisita

3.3.1 Estudo da distribuição de poros das amostras

As Figuras 8a) e 8b) descrevem as isotermas de adsorção/dessorção e a distribuição do tamanho dos poros dos compósitos. Para determinar a porosidade de materiais sólidos, é importante quantificar a área de superfície ajustando a equação de Brunauer-Emmett-Teller (BET) e o volume médio dos poros e o diâmetro médio dos poros ajustando as equações de Barrett-Joyner-Halenda (BJH). Para preparação da amostra: Inicialmente, aproximadamente 200mg da amostra foram pesados em um suporte de amostra específico. A amostra foi então submetida ao tratamento de desgaseificação (remoção de impurezas e/ou água adsorvida a 120 °C por 4 horas). Finalmente, as propriedades texturais do material foram investigadas com base nos resultados das isotermas de adsorção e dessorção de N₂ a 77 K usando o equipamento ANOVA 1000e da Quantachrome Autosorb- iQ Instruments Software. O processamento dos dados foi realizado usando o software NOVAWIN.

Figura 8: a) Isotermas de absorção e desorção de N₂ b) Distribuição dos poros das amostras ZAHRu.



Fonte: O Autor (2024)

A Figura 8a) mostra que os compósitos têm isotermas do tipo IV e os loops de histerese aparecem principalmente na faixa de pressão relativa mais alta, o que é típico para materiais mesoporosos (SAYYAR et al., 2024). Isso é ainda mais apoiado pelo tamanho médio dos poros mostrado na Figura 8b). Os resultados na Tabela 2 indicam uma ligeira diminuição na área de superfície e no volume dos poros conforme a concentração de óxido de rutênio aumenta. A incorporação de nanopartículas metálicas na estrutura do argilomineral pode reduzir os macroporos preenchendo o lúmen da haloisita, resultando em diminuição da área de superfície e do volume dos poros dos compósitos (KHODDAM et al., 2023). Apesar disso, todos os

compósitos ainda têm uma área de superfície relativamente alta, o que é benéfico para processos fotocatalíticos.

Tabela 2: Parametros de superfice das amostras ZAHRu

| Amostras | Area | Volume dos poros | Diâmetro médio de |
|----------|-------------------|----------------------|-------------------|
| | Superficial(m²/g) | (cm ³ /g) | poro(nm) |
| ZAHRu0 | 30,2 | 0,101 | 3,8 |
| ZAHRu1 | 25,0 | 0,081 | 3,9 |
| ZAHRu2 | 28,3 | 0,087 | 3,9 |
| ZAHRu3 | 28,3 | 0,087 | 4,0 |
| ZAHRu5 | 25,7 | 0,084 | 4,0 |

Fonte: O Autor (2024)

3.3.2 Análise das formas das partículas e composição superficial do composito

A microscopia eletrônica de varredura acoplada à espectroscopia de dispersão de energia foi usada para investigar a morfologia e a microanálise das amostras, conforme mostrado na Figura 9 Em todos os compósitos à base de ZnO, pequenos cristais hemisféricos, semelhantes a escamas, e suas estruturas agregadas foram identificados. A morfologia das nanopartículas de ZnO é determinada pelas condições de síntese e pela tendência de aglomeração (LINS et al., 2023; SILVA et al., 2024a). No entanto, ter partículas individuais e seus aglomerados pode ser benéfico para processos fotocatalíticos (ZSIRKA et al., 2022). A tendência de aglomeração suave é perceptível em todas as amostras com aumento da concentração de RuO₂. A aglomeração de nanopartículas também pode afetar a porosidade do material, como visto na ligeira diminuição da área de superfície com um aumento na concentração de óxido de rutênio. Durante o mapeamento EDS, a presença de Si, Al e O foi observada em todas as amostras, o que corresponde à estrutura da haloisita. O carbono foi detectado devido ao alginato. Zn, correspondente ao óxido de zinco, está presente em todas as amostras, e Ru foi detectado nas amostras em que foi incorporado para formar os compósitos. Essas descobertas sugerem uma distribuição homogênea de nanopartículas na superfície da haloisita. Por outro lado, os resultados demonstram a formação do compósito, o que apoia as descobertas das análises de DRX e FTIR.

ZAHRu2 ZAHRu3 ZAHRu5

Figura 9: MEVS das amostras ZAHRu acima seguidos de seus respectivos EDS abaixo da imagem.

Fonte: O Autor (2024)

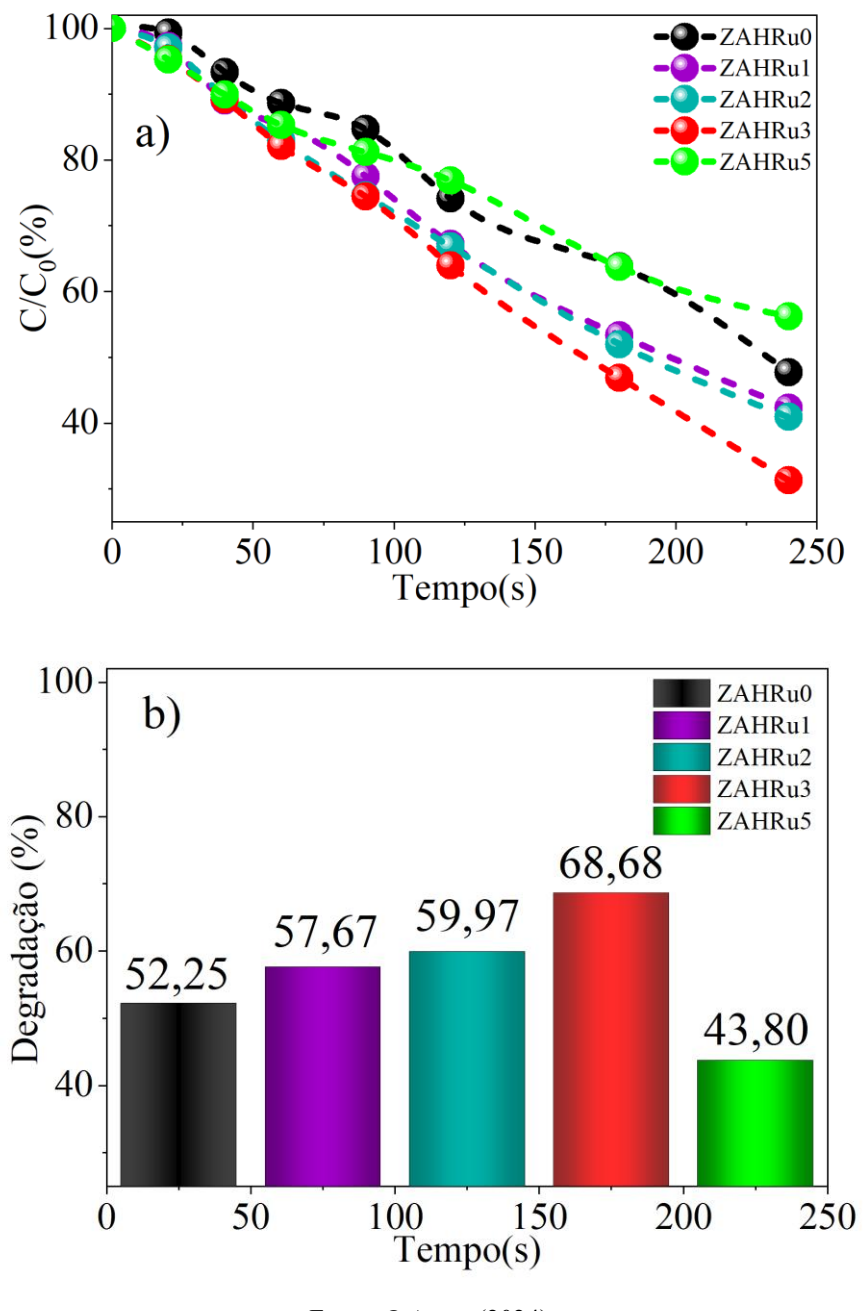
3.4 Análise do desempenho fotocatalítico do compósito RuO2@ZnO-alginato-haloisita

3.4.1 Testes na eosina amarela

Os experimentos de irradiação foram conduzidos para avaliar a atividade fotocatalítica dos compósitos sintetizados na remoção de contaminantes orgânicos de solução aquosa sob luz ultravioleta. Nestes experimentos, 100mL de uma solução contendo Eosina amarela (EY) e Ciprofloxacina, cada um em uma concentração inicial de 10 mg L⁻¹, foi usado junto com 50 mg de cada fotocatalisador (ZAHRu0, ZAHRu1, ZAHRu2, ZAHRu3 e ZAHRu5). A Figura 10a) ilustra a mudança na concentração ao longo do tempo durante a degradação do amarelo de eosina usando vários compósitos. A taxa de degradação aumenta com maior teor de óxido de

rutênio, atingindo o pico em 3% de incorporação (ZAHRu3) em comparação com o material sem óxido de rutênio (ZAHRu0). No entanto, em uma concentração maior de 5% (ZAHRu5), a taxa de degradação diminui significativamente. Essa redução pode ser atribuída à agregação de nanopartículas de RuO2 na superfície do compósito, o que pode impedir a eficácia do processo fotocatalítico (MYLARAPPA et al., 2023). Os resultados estão alinhados com os obtidos na análise da morfologia e porosidade.

Figura 10 Dados da fotocatalide da Eosina amarela representados por a) c/c0 e b) degradação



Fonte: O Autor (2024)

A Figura 11 apresenta os testes de supressores, conduzidos para estudar as principais espécies envolvidas na fotodegradação do corante EY usando o fotocatalisador ZAHRu3. Durante esses testes, reagentes como AgNO₃, EDTA, álcool metílico e benzoquinona (BQ) foram adicionados. Esses compostos atuam como inibidores de elétrons (e⁻), buracos (h⁺), radicais hidroxila (•OH⁻) e radicais superóxido (•O₂⁻). Os resultados mostraram que a adição de AgNO3 levou a 100% da degradação do corante EY, indicando um aumento na atividade fotocatalítica. A presença de prata carregada na superfície do material foi encontrada para auxiliar na separação de carga, melhorando o processo fotocatalítico (SOHRABNEZHAD; SEIFI, 2016).

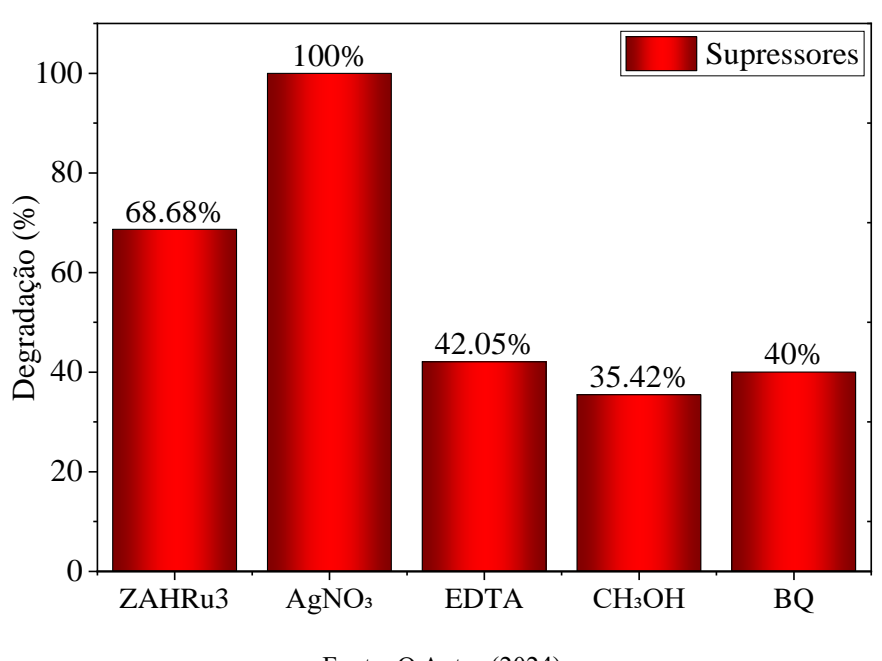


Figura 11: Teste de supressores da Eosina amarela para a amostra ZAHRu3

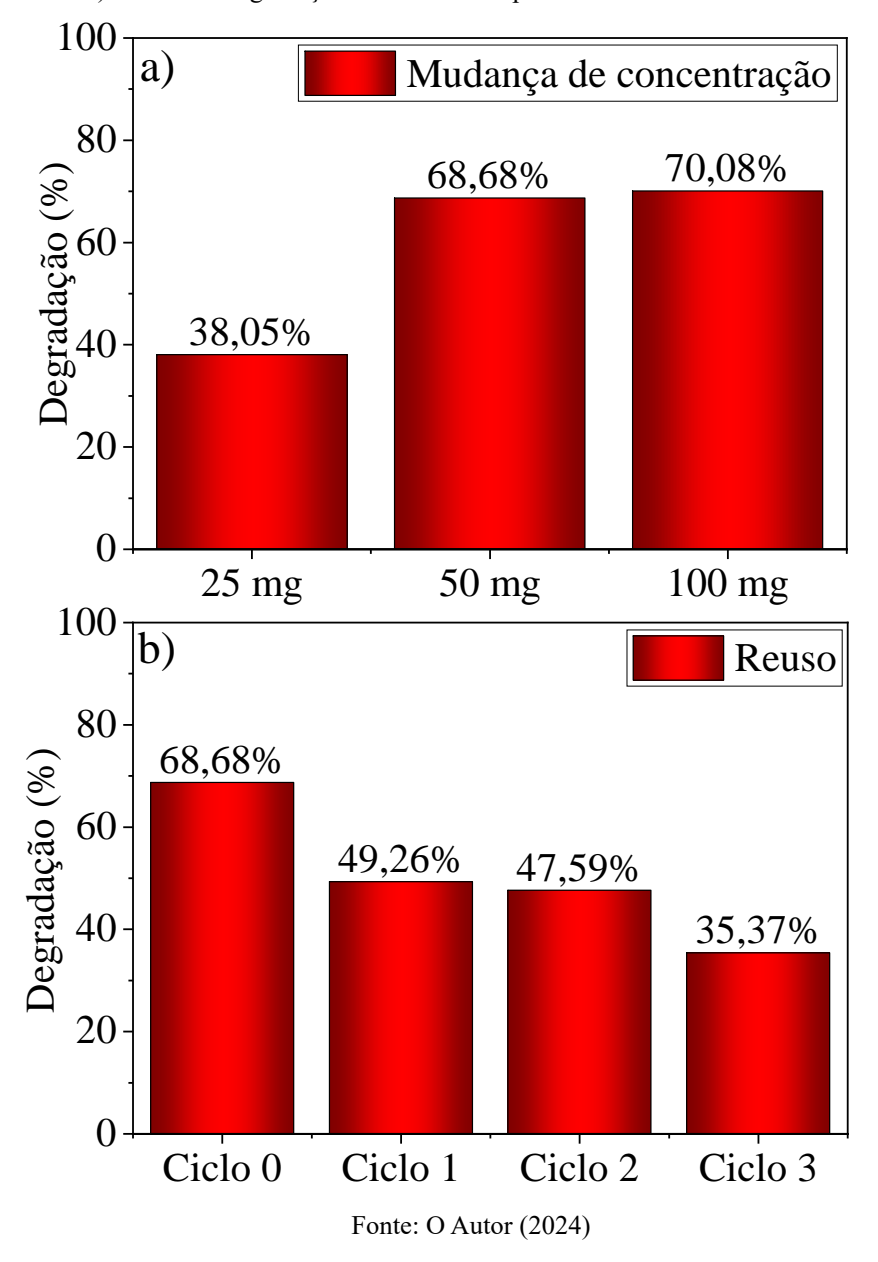
Fonte: O Autor (2024)

No entanto, quando EDTA, álcool e benzoquinona foram adicionados, a taxa de degradação do corante diminuiu, com porcentagens de degradação de 42,05%, 35,42% e 40%, respectivamente. Essas descobertas sugerem que espécies específicas, como buracos, radicais hidroxila e radicais superóxido, estão envolvidas no mecanismo de fotocatálise de corantes EY, com radicais hidroxila desempenhando um papel mais significativo. A degradação do corante EY por radicais •OH - pode ocorrer por meio de várias etapas: clivagem de anéis de benzeno nas laterais das moléculas, ionização de moléculas de corante em solução aquosa, clivagem subsequente de várias ligações, como C–O e C–C, e degradação por meio da fragmentação de moléculas de corante (DEBNATH et al., 2015)

Na Figura 12a), as taxas de degradação variam com a concentração do fotocatalisador com concentração de 3% de RuO₂ (ZAHRu3). Os resultados mostram baixa atividade quando 25 mg

do material foi usado, mas a taxa de degradação aumenta com quantidades maiores. No entanto, não há variação significativa quando 50mg e 100mg de fotocatalisador são usados. A Figura 12b) ilustra a estabilidade e a reutilização do fotocatalisador ZAHRu3. O material apresentou uma ligeira diminuição na atividade fotocatalítica do primeiro para o terceiro ciclo de reutilização, com taxas de degradação de 49,26%, 47,59% e 35,37% no primeiro, segundo e terceiro ciclos, respectivamente. Isso indica uma redução de aproximadamente 48% na atividade após três ciclos de reutilização, sugerindo que o material é razoavelmente estável para degradação do corante em solução.

Figura 12: a) Valores da degradação do corante EY no teste de mudança de concentração usando a amostra ZAHRu3. b) Valores da degradação do corante EY pelos ciclos de reuso da amostra ZAHRu3.

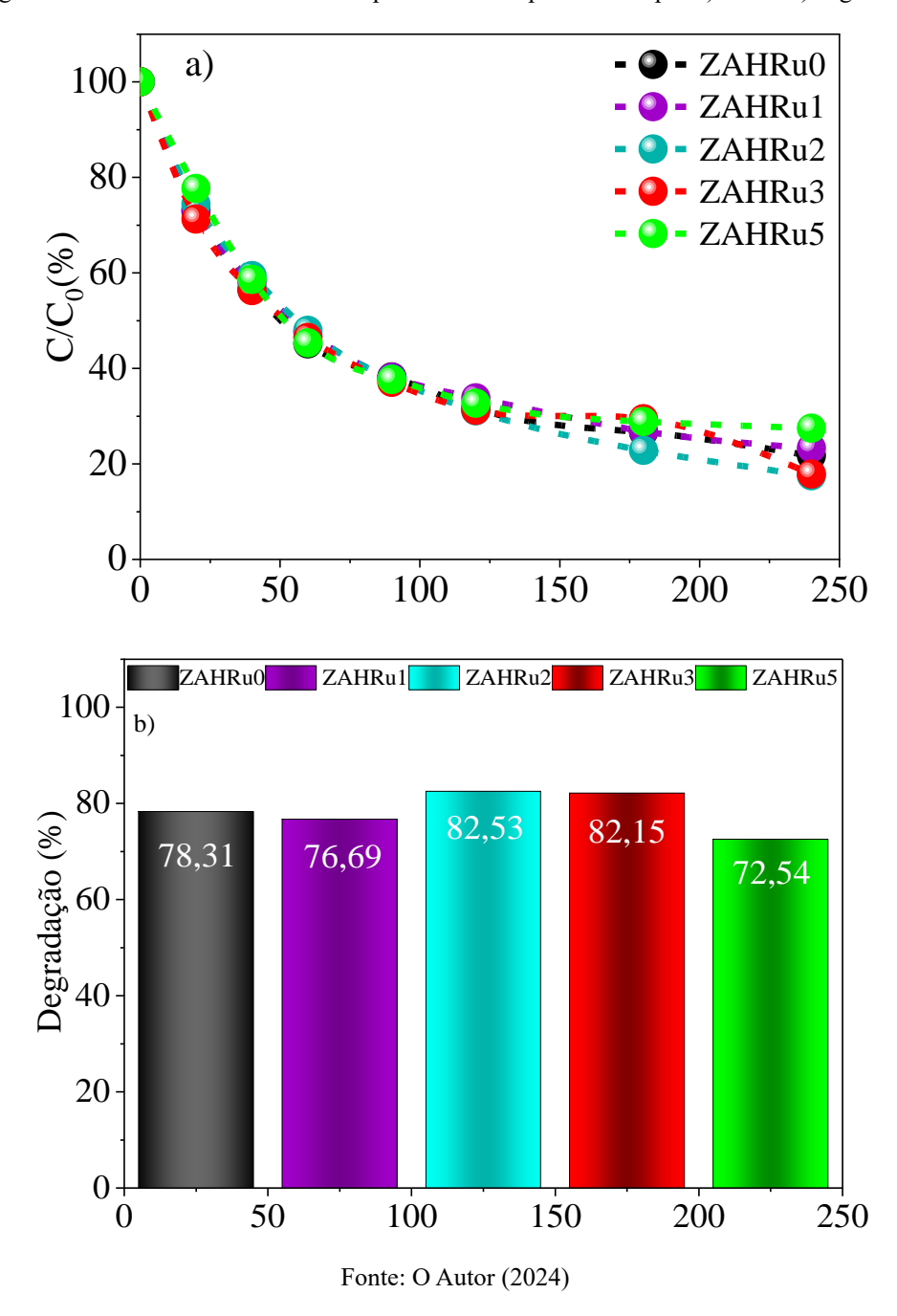


Na literatura não possuía dados de compostos semelhantes para degradação da Eosina amarela, mas, foi encontrado diferentes materiais degradando o corante. Por exemplo, Morais et al. (MORAIS et al., 2019)mostraram que TiO2 -palygorskite atingiu cerca de 75% de degradação de EY e TiO 2 -palygorskite-LDH atingiu cerca de 73% em 150 minutos de luz UV. Bandoh et al. (BANDOH et al., 2024)observaram até 96% de degradação de EY sob irradiação de luz visível dentro de 180 minutos de reação com as heteroestruturas ZnO-gC₃N₄ dopadas com cobalto. Mzougui et al. (MZOUGHI et al., 2016)2 dopados com neodímio (Nd-ZrO-GO) para a fotodegradação de EY. Os autores observaram até 80% de degradação do corante em 180 minutos de irradiação de luz solar simulada. Silva et al. (SILVA et al., 2024b)obtiveram aproximadamente 77% de degradação do EY usando o composto Zn 0,97 La 0,03 O sob uma fonte de luz UV por um tempo de reação de 120 minutos. Sá et al. (DE SÁ et al., 2024) desenvolveram um composto co-dopando ZnO com íons Er e Co e o aplicaram para descolorir o EY. Em seu estudo, os autores obtiveram cerca de 48% de degradação do corante sob luz UV por 120 minutos. Nosso novo material foi sintetizado usando um processo hidrotérmico prático e projetado para ter propriedades estruturais e ópticas notáveis para remoção eficaz de EY em solução, obtendo até 68,68% de degradação.

3.4.2 Testes na ciprofloxacina

Por outro lado, os compósitos também foram examinados para a fotodegradação do fármaco ciprofloxacina, e os resultados são descritos na Figura 13. A Figura 15a) ilustra a variação temporal na concentração do fármaco em solução após exposição à radiação UV. A eficiência da remoção do fármaco é aumentada com tempo de reação prolongado em todos os compósitos. Entre os compósitos, aqueles contendo 2 e 3% de RuO2 (ZAHRu2 e ZAHRu2) apresentam o melhor desempenho, atingindo valores de 82,53% e 82,15% de remoção do fármaco CIP.

Figura 13: Dados da fotocatalide da Ciprofloxacina representados por a) c/c0 e b) degradação



Os resultados sugerem que a formação balanceada da heteroestrutura provou ser ideal para a eficiência fotocatalítica do compósito na degradação do ciprofloxacino. Essa formação ideal provavelmente levou à criação de defeitos de vacância (como Vo + e Vo +++), que reduziram a recombinação de portadores de carga e melhoraram a atividade fotocatalítica (SOARES et al., 2024a). A proposta do mecanismo de degradação será explicada posteriormente. A Figura 14 apresenta testes conduzidos com concentrações variadas de fotocatalisador usando a amostra

ZAHRu2. Conforme observado, 50 mg de fotocatalisador (82,53%) fornecem resultados superiores em comparação a 25 mg (67,66%) e 100 mg (72,9%)

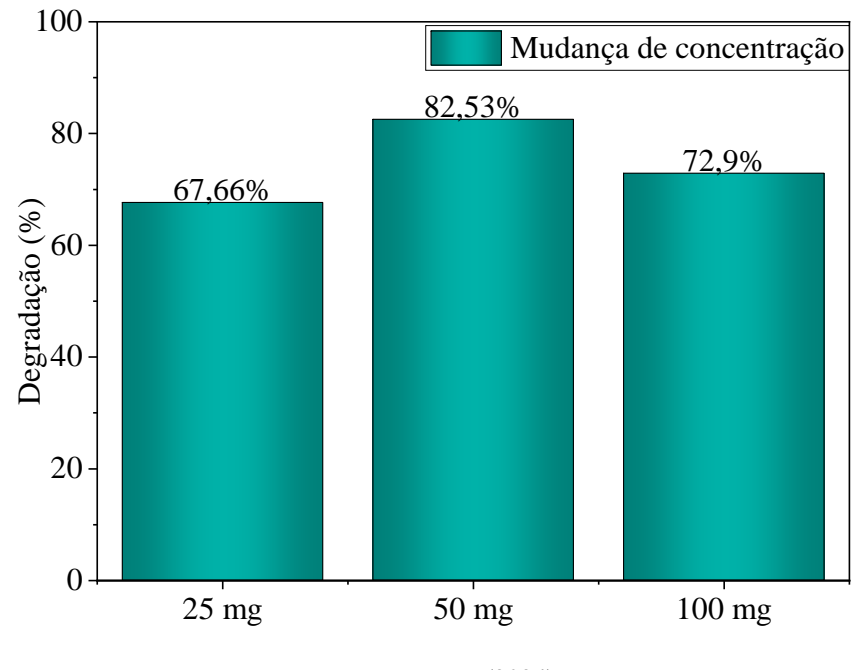


Figura 14: Teste de mudança de concentraçã da Ciprofloxacina para a amostra ZAHRu2

Fonte: O Autor (2024)

A Figura 15 exibe os testes de supressores conduzidos para estudar as principais espécies envolvidas na fotodegradação do fármaco CIP usando o fotocatalisador ZAHRu2. Para os testes, foram feitos experimentos com adição de AgNO₃, EDTA, álcool metílico e benzoquinona. A adição de nitrato de prata no sistema aumentou a atividade do material. Esse aumento pode ser atribuído à adsorção de Ag⁺ na superfície do catalisador, que funciona como um eliminador de elétrons, reduzindo assim a recombinação de carga. (HONORIO et al., 2020; TEIXEIRA et al., 2019). Essa observação também foi notada na degradação do corante EY. A adição de EDTA e álcool levou a apenas uma pequena redução na atividade fotocatalítica, sugerindo que espécies de buracos e radicais hidroxila desempenham um papel parcial no processo fotocatalítico.

Em contraste, a adição de benzoquinona resultou em uma diminuição mais significativa no potencial fotocatalítico do material, indicando que os radicais superóxido são as principais espécies reativas envolvidas no mecanismo de degradação da ciprofloxacina usando o compósito ZAHRu2. Resultados semelhantes foram encontrados na literatura (AMIR et al., 2022; SOARES et al., 2024a; WEN et al., 2018). No entanto, isso difere das descobertas de alguns estudos (AHAMAD; NAUSHAD; ALSHEHRI, 2021; MAKAMA et al., 2020) que

concluíram que buracos e radicais hidroxila são as espécies primárias. A degradação do CIP pelo ataque dos radicais •OH - e •O 2 - pode ocorrer por várias vias: oxidação dos anéis de piperazina, oxidação da estrutura da quinolona, reação de desfluoração e oxidação do grupo ciclopropil, levando à quebra do anel e à geração de subprodutos. Além disso, pode haver eliminação dos anéis de piperazina e quinolona, resultando, em última análise, na quebra completa das moléculas do fármaco (GUPTA et al., 2021)

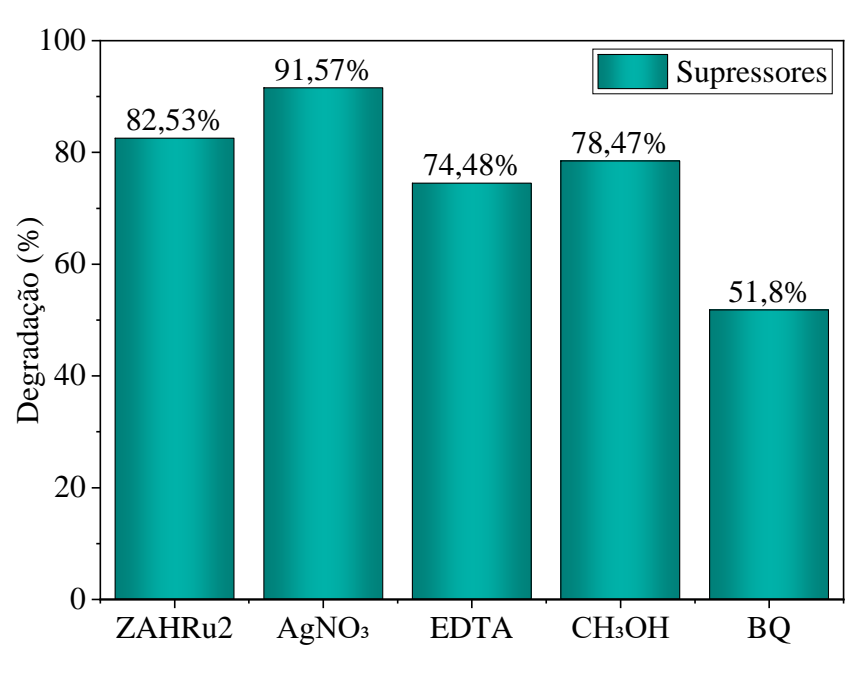


Figura 15: Teste de supressores da Ciprofloxaxina para a amostra ZAHRu2

Fonte: O Autor (2024)

Em relação aos testes de reutilização do material, os resultados indicam excelente estabilidade do fotocatalisador após três ciclos de reutilização, apresentando atividade em torno de 81,16%, 80,65% e 76,36% após o primeiro, segundo e terceiro ciclos, respectivamente (Figura16). O compósito apresentou redução de apenas 7% na atividade fotocatalítica após o terceiro ciclo de reutilização. Esses resultados indicam a alta estabilidade e característica de reutilização do compósito ZAHRu2 para remoção de ciprofloxacina sob irradiação UV.

Alguns estudos anteriores analisaram a degradação do ciprofloxacina quando exposto à radiação UV ou de luz visível (AHAMAD; NAUSHAD; ALSHEHRI, 2021; AMIR et al., 2022; FREITAS et al., 2022; HASSAAN et al., 2024; LI et al., 2020). Atualmente, os pesquisadores estão encarregados de desenvolver materiais usando métodos simples e ecologicamente corretos. O material apresentado neste estudo foi sintetizado por meio de um processo de duas etapas que minimiza o uso de compostos tóxicos. Essa abordagem não apenas simplifica a

preparação, mas também aumenta a sustentabilidade. O material resultante demonstrou desempenho excepcional na remoção do ciprofloxacina, atingindo até 82,53% de eficiência sob irradiação UV.

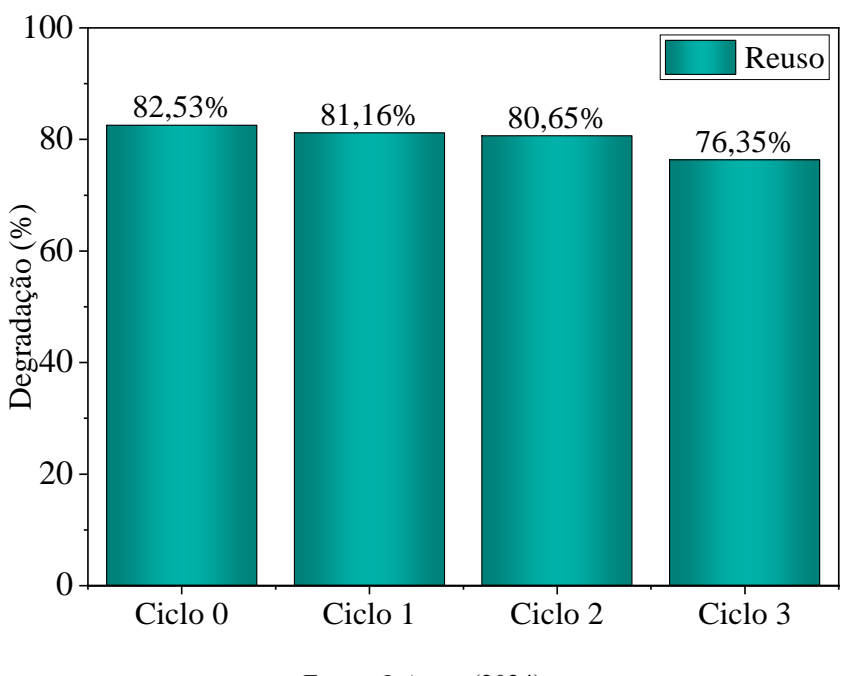


Figura 16: Teste de reuso da Ciprofloxacina para a amostra ZAHRu

Fonte: O Autor (2024)

Um mecanismo plausível para a remoção de corante EY e fármaco CIP via processo de fotocatálise usando compostos do tipo RuO₂@ZnO-alginato-haloisita é ilustrado na Figura 17 e equações 8 - 15. Neste caso, a haloisita-alginato atua como um suporte para nanopartículas de ZnO e RuO₂. A combinação desses catalisadores é responsável pela degradação oxidativa de contaminantes modelos (MODWI et al., 2021; POUTHIKA; MADHUMITHA, 2023). Quando nanopartículas de ZnO e RuO₂ são expostas à luz UV, e⁻ fotoinduzidos são produzidos na banda de condução e h + fotoinduzidos na banda de valência. Também pode haver uma transferência de carga entre os catalisadores, onde a maior energia e⁻ na banda de condução de ZnO pode se mover para a banda de condução de RuO₂. O e - livre pode reagir com moléculas de oxigênio adsorvidas para criar radicais •O₂, que podem capturar mais elétrons, produzindo mais espécies •O₂- que participam da degradação de poluentes alvo. Da mesma forma, + pode se mover da banda de valência de ZnO para a banda de valência de RuO₂. O h + então reage com moléculas de água, gerando radicais •OH⁻. Esses poderosos agentes oxidantes podem quebrar moléculas-alvo de corantes e fármacos. Com base em testes de inibidores de radicais, é provável que a quebra oxidativa do corante e do fármaco usando o novo composto à base de ZnO seja devido

ao efeito combinado das espécies h $^+$, •OH - e $^+$ O2 $^-$. No entanto, os radicais hidroxila fotogerados parecem ter um impacto maior no EY, enquanto os radicais superóxido fotogerados têm um efeito mais significativo no caminho de degradação da ciprofloxacina.

$$(ZnO - RuO_2 + hv \rightarrow e^-(CB) + h + (VB)$$
(8)

$$h + (VB) + H_2O \rightarrow \bullet OH^- + H \tag{9}$$

$$e^{-}(CB) + O_2(ads) \rightarrow \bullet O_2 \tag{10}$$

$$e^{-}(CB) + \bullet O_2 \to \bullet O_2 \tag{11}$$

$$\bullet O_2^- + e^- + 2H^+ \to H_2O_2$$
 (12)

$$H_2O_2 + e^- \rightarrow \bullet OH + OH \tag{13}$$

•
$$OH^- + EY \rightarrow Produtos da degradação$$
 (14)

•
$$O_2^- + CIP \rightarrow Produtos da degradação$$
 (15)

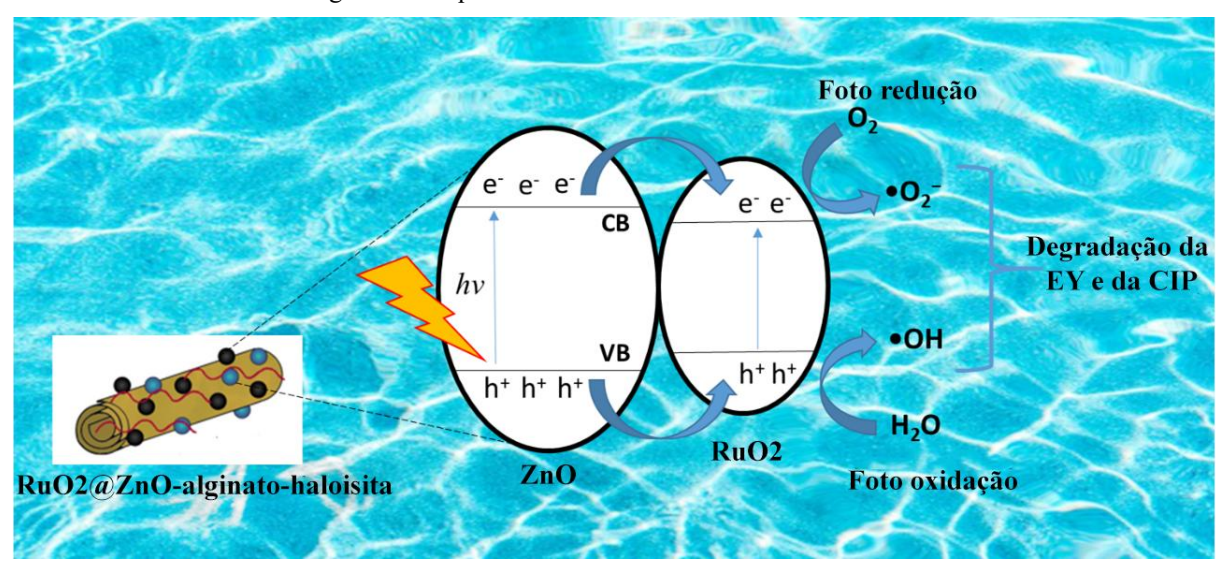


Figura 17: Esquema da fotocatalise das amostras ZAHRu.

Fonte: O Autor (2024)

A fotocatálise eficiente em materiais depende de vários fatores, como absorção de luz, separação de pares elétron-buraco e reações de superfície. A estrutura eletrônica também desempenha um papel significativo na separação de carga, e defeitos como vacâncias de oxigênio podem atuar como locais ativos para reações fotocatalíticas (GURYLEV; PERNG, 2021; REZAEI; NEZAMZADEH-EJHIEH; MASSAH, 2024; WEI et al., 2018). A construção de heteroestruturas pode afetar a estrutura eletrônica do material, a migração de cargas e a separação de cargas fotogeradas (HE et al., 2021a, 2023c). Mutuamente, a eficiência catalítica dos semicondutores depende de outros fatores-chave, incluindo tamanho de partícula,

morfologia, área de superfície, estrutura cristalina e densidade de defeitos. Além disso, a taxa de recombinação de carga influencia fortemente o processo fotocatalítico (LINS et al., 2023; MARTINS et al., 2024; SILVA et al., 2024b; SOARES et al., 2024a). Uma abordagem para aumentar a atividade fotocatalítica e minimizar a recombinação de carga é por meio do design de compósitos e heteroestruturas. Compósitos feitos de argilominerais e biopolímeros têm sido amplamente pesquisados para imobilizar nanopartículas semicondutoras. Neste caso, há uma forte interação, por meio de reticulação, entre os grupos funcionais de alginato e argilominerais, resultando em uma matriz ideal para introdução de nanopartículas semicondutoras. Além disso, a matriz de biopolímero-argilomineral fornece estabilidade, biocompatibilidade, alta área de superficie, capacidade de adsorção aprimorada, maior reatividade de superficie e melhor recuperabilidade (ARAUJO et al., 2020; BALAKRISHNAN; CHINTHALA; POLAGANI, 2024; CHKIRIDA et al., 2021; DAMACENO et al., 2024; LEE et al., 2022a). O suporte formado por alginato e haloisita tem uma alta concentração de grupos hidroxila em sua superficie, permitindo que ele crie ligações químicas interfaciais com fotocatalisadores incorporados. Isso aumenta a eficiência do transporte de carga fotogeradas em compósitos (BALAKRISHNAN; CHINTHALA; POLAGANI, 2024; ZHOU et al., 2024). Os compósitos RuO₂@ZnO-alginato-haloisita mostraram excelente atividade fotocatalítica para remover moléculas de corante e fármaco da solução sob luz UV. Os compósitos tiveram uma forte interação entre o suporte haloisita-alginato e as nanopartículas de ZnO e RuO₂, bem como uma lacuna de banda apropriada e alta área de superfície. Junto com essas características, os compósitos também exibiram uma alta concentração de defeitos induzidos por vacância, particularmente vacâncias de oxigênio, o que facilitou a fácil separação de carga, otimizou a estrutura eletrônica, promoveu a geração de espécies reativas de oxigênio e acelerou a degradação de moléculas poluentes.

4 CONSIDERAÇÕES FINAIS

4.1 Conclusões

- ❖ Um novo compósito RuO₂@ZnO-alginato-haloisita foi sintetizado com sucesso, utilizando uma abordagem híbrida dos métodos hidrotermal e sonoquímico. Esse processo resultou na dispersão uniforme das nanopartículas de RuO₂ na matriz do material;
- ❖ Os padrões de DRX e a espectroscopia Raman confirmaram a incorporação bemsucedida de RuO₂ na matriz de ZnO, preservando sua estrutura cristalina de wurtzita;
- ❖ As medições de DRS revelaram um desvio para o vermelho na energia da lacuna de banda, indicando maior absorção de luz na região visível devido à presença de RuO₂;
- ❖ As energias de lacuna de banda variaram entre 3,281 eV e 3,252 eV, com uma diminuição correlacionada ao aumento do teor de RuO₂;
- ❖ Os compósitos apresentaram notável atividade fotocatalítica, com destaque para os materiais contendo 2% e 3% de RuO₂, que alcançaram eficiências de remoção de até 82,53% para o antibiótico ciprofloxacino (CIP) sob irradiação UV;
- ❖ A eficiência foi atribuída à presença de defeitos de vacância de oxigênio (Vo⁺ e Vo⁺⁺), que facilitaram a separação de carga e reduziram a recombinação elétron-buraco.
- ❖ Testes com supressores identificaram os radicais superóxido como espécies reativas predominantes no processo fotocatalítico. A adição de benzoquinona reduziu significativamente a atividade, evidenciando o papel central desses radicais na degradação do CIP.
- ❖ Os resultados destacaram o compósito RuO₂@ZnO-alginato-haloisita como um material promissor para aplicações no tratamento de águas residuais, devido à sua alta eficiência fotocatalítica e estabilidade.

4.2 Perspectivas futuras

1. Ampliação dos Estudos Fotocatalíticos

- Avaliar a eficácia do compósito na degradação de outros contaminantes emergentes, como pesticidas e compostos orgânicos persistentes.
- Testar a eficiência do material sob luz visível e solar, explorando sua aplicabilidade em diferentes condições ambientais.

2. Estudo da Reusabilidade

 Realizar ciclos extensivos de reuso para investigar a durabilidade e a estabilidade estrutural do compósito ao longo do tempo.

3. Exploração de Métodos de Síntese

- Otimizar o processo sonoquímico para melhorar ainda mais a dispersão das nanopartículas e a eficiência do material.
- Investigar a substituição de outros biopolímeros naturais ou argilominerais no lugar do alginato e haloisita, para avaliar o impacto no desempenho fotocatalítico.

4. Aplicações em Escala Real

 Desenvolver reatores fotocatalíticos para testes em larga escala, visando à validação do material em sistemas reais de tratamento de águas residuais.

5. Caracterizações Avançadas

- Realizar estudos de dinâmica de carga para compreender com maior precisão os mecanismos eletrônicos envolvidos na alta eficiência do compósito.
- Investigar o impacto da temperatura e do pH no desempenho fotocatalítico, simulando condições reais de efluentes.

REFERENCIAS

- ABDEL MESSIH, M. F. et al. Zinc oxide-supported silica gel (ZnO–SiO2) as a sun light-driven photocatalyst. **Journal of Materials Science: Materials in Electronics**, v. 35, n. 16, p. 1–9, 1 jun. 2024. Disponível em: https://link.springer.com/article/10.1007/s10854-024-12617-1 Acesso em: 16 dez. 2024.
- AHAMAD, T.; NAUSHAD, MU.; ALSHEHRI, S. M. Analysis of degradation pathways and intermediates products for ciprofloxacin using a highly porous photocatalyst. **Chemical Engineering Journal**, v. 417, p. 127969, 2021. Disponível em: https://www.sciencedirect.com/science/article/abs/pii/S1385894720340882 Acesso em: 16 dez. 2024.
- ALEKSIĆ, K. et al. Enhancement of ZnO@RuO2 bifunctional photo-electro catalytic activity toward water splitting. **Frontiers in Chemistry**, v. 11, n. April, p. 1–16, 2023. Disponível em: https://www.frontiersin.org/journals/chemistry/articles/10.3389/fchem.2023.1173910/full Acesso em: 16 dez. 2024
- ALI, A.; ZHANG, N.; SANTOS, R. M. Mineral Characterization Using Scanning Electron Microscopy (SEM): A Review of the Fundamentals, Advancements, and Research Directions. **Applied Sciences 2023, Vol. 13, Page 12600**, v. 13, n. 23, p. 12600, 22 nov. 2023. Disponível em: https://www.mdpi.com/2076-3417/13/23/12600 Acesso em: 23 dez. 2024.
- AMARANATHA REDDY, D.; MA, R.; KIM, T. K. Efficient photocatalytic degradation of methylene blue by heterostructured ZnO–RGO/RuO2 nanocomposite under the simulated sunlight irradiation. **Ceramics International**, v. 41, n. 5, p. 6999–7009, 1 jun. 2015. Disponível em: https://www.sciencedirect.com/science/article/abs/pii/S0272884215002175 Acesso em: 05 jan. 2025.
- AMIR, M. et al. Integrated adsorptive and photocatalytic degradation of pharmaceutical micropollutant, ciprofloxacin employing biochar-ZnO composite photocatalysts. **Journal of Industrial and Engineering Chemistry**, v. 115, p. 171–182, 2022. Disponível em: https://www.sciencedirect.com/science/article/abs/pii/S1226086X22004245 Acesso em: 16 dez. 2024.
- ARAUJO, F. P. et al. New composite TiO2/naturals gums for high efficiency in photodiscoloration process. **Ceramics International**, 2020. Disponível em: https://www.sciencedirect.com/science/article/abs/pii/S0272884220307215 Acesso em: 16 dez. 2024.
- BALAKRISHNAN, A.; CHINTHALA, M.; POLAGANI, R. K. 3D kaolinite/g-C3N4-alginate beads as an affordable and sustainable photocatalyst for wastewater remediation. **Carbohydrate Polymers**, v. 323, p. 121420, 2024. Disponível em: https://www.sciencedirect.com/science/article/abs/pii/S0144861723008858 Acesso em: 16 dez. 2024.
- BANDOH, C. K. et al. The effect of cobalt-doped ZnO-g-C3N4 heterostructures on photocatalytic degradation of eosin yellow dye in water under simulated solar light. **Results in Materials**, v. 21, p. 100515, 2024. Disponível em: Acesso em: 16 dez. 2024.

- BARDESTANI, R.; PATIENCE, G. S.; KALIAGUINE, S. Experimental methods in chemical engineering: specific surface area and pore size distribution measurements—BET, BJH, and DFT. **The Canadian Journal of Chemical Engineering**, v. 97, n. 11, p. 2781–2791, 1 nov. 2019. Disponível em: https://onlinelibrary.wiley.com/doi/full/10.1002/cjce.23632 Acesso em: 19 jan. 2025.
- BASNET, P.; CHATTERJEE, S. Structure-directing property and growth mechanism induced by capping agents in nanostructured ZnO during hydrothermal synthesis—A systematic review. **Nano-Structures & Nano-Objects**, v. 22, p. 100426, 1 abr. 2020. Disponível em: https://www.sciencedirect.com/science/article/abs/pii/S2352507X20300044 Acesso em: 17 dez. 2024.
- BERTHOMIEU, C.; HIENERWADEL, R. Fourier transform infrared (FTIR) spectroscopy. **Photosynthesis Research**, v. 101, n. 2–3, p. 157–170, 10 set. 2009. Disponível em: https://link.springer.com/article/10.1007/s11120-009-9439-x Acesso em: 02 jan. 2025.
- BLATTMANN, T. M.; PLÖTZE, M. BET-based mineral surface area quantification comparing nitrogen with water. **Applied Clay Science**, v. 258, p. 107477, 15 set. 2024. Disponível em: https://www.sciencedirect.com/science/article/pii/S0169131724002254 Acesso em: 08 jan. 2025.
- BOSVELI, A. et al. Eosin: a versatile organic dye whose synthetic uses keep expanding. **Organic & Biomolecular Chemistry**, v. 19, n. 15, p. 3303–3317, 26 abr. 2021. Disponível em: https://www.sciencedirect.com/science/article/pii/S0169131724002254 Acesso em: 18 jan. 2025.
- BUNACIU, A. A.; UDRIȘTIOIU, E. GABRIELA; ABOUL-ENEIN, H. Y. X-Ray Diffraction: Instrumentation and Applications. **Critical Reviews in Analytical Chemistry**, v. 45, n. 4, p. 289–299, 2 out. 2015. Disponível em: https://www.tandfonline.com/doi/abs/10.1080/10408347.2014.949616 Acesso em: 16 dez. 2024.
- CASTRO-LOPES, S. et al. Influence of pH on the structural and magnetic properties of Fedoped ZnO nanoparticles synthesized by sol gel method. **Solid State Sciences**, v. 109, 1 nov. 2020. Disponível em: https://www.sciencedirect.com/science/article/abs/pii/S1293255820313108 Acesso em: 16 dez. 2024.
- CHKIRIDA, S. et al. Highly synergic adsorption/photocatalytic efficiency of Alginate/Bentonite impregnated TiO2 beads for wastewater treatment. **Journal of Photochemistry and Photobiology A: Chemistry**, v. 412, p. 113215, 2021. Disponível em: https://www.sciencedirect.com/science/article/abs/pii/S1010603021000885 Acesso em: 16 dez. 2024.
- CONTE, F. et al. Comparison of Different Advanced Oxidation Processes (AOPs) and Photocatalysts for the Degradation of Diclofenac. **ChemPhotoChem**, v. 8, n. 5, p. e202300177, 1 maio 2024. Disponível em: https://chemistry-europe.onlinelibrary.wiley.com/doi/full/10.1002/cptc.202300177 Acesso em: 16 dez. 2024.

- COSTA-SILVA, M. et al. Photocatalytic, structural and optical properties of Ce–Ni co-doped ZnO nanodisks-like self-assembled structures. **Materials Chemistry and Physics**, v. 292, n. August, 2022. Disponível em: https://www.sciencedirect.com/science/article/abs/pii/S0254058422011208 Acesso em: 16 dez. 2024.
- DAMACENO, D. H. et al. ZnO Saponite Nanocomposite: Input of Adsorption and Photocatalysis for Removal of Rhodamine B Dye. **Water, Air, & Soil Pollution**, p. 1–21, 2024. Disponível em: https://link.springer.com/article/10.1007/s11270-024-07456-z Acesso em: 16 dez. 2024.
- DE SA, I. G. F. et al. Synthesis of ZnO co-doped with Er and Co: Effect of the dopants on the structural, optical properties and yellow eosin photocatalytic response. **Solid State Sciences**, v. 147, p. 107400, 2024. Disponível em: https://www.sciencedirect.com/science/article/abs/pii/S1293255823002923 Acesso em: 16 dez. 2024.
- DEBNATH, S. et al. Optimization and mechanism elucidation of the catalytic photodegradation of the dyes Eosin Yellow (EY) and Naphthol blue black (NBB) by a polyaniline-coated titanium dioxide nanocomposite. **Applied Catalysis B: Environmental**, v. 163, p. 330–342, Disponível em: https://www.sciencedirect.com/science/article/abs/pii/S0926337314004822 Acesso em: 16 dez. 2024.
- DEVADAS, A.; BARANTON, S.; COUTANCEAU, C. Green Synthesis and Modification of RuO2 Materials for the Oxygen Evolution Reaction. **Frontiers in Energy Research**, v. 8, n. October, p. 1–12, 2020. Disponível em: https://www.frontiersin.org/journals/energy-research/articles/10.3389/fenrg.2020.571704/full Acesso em: 16 dez. 2024.
- DONG, J. et al. Highly efficient Bi/BiOCl with oxygen vacancies photocatalyst with synergetic effects of oxygen vacancy, surface plasmon resonance, and electron sink effects of metallic Bi. **Applied Organometallic Chemistry**, v. 38, n. 9, p. e7633, 1 set. 2024. Disponível em: https://onlinelibrary.wiley.com/doi/abs/10.1002/aoc.7633 Acesso em: 16 dez. 2024.
- FAN, M. H. et al. MoS2 as a cocatalyst applied in advanced oxidation processes for enhancing degradation of organic pollutants: a review. **Tungsten 2023 6:3**, v. 6, n. 3, p. 473–487, 15 dez. 2023. Disponível em: https://link.springer.com/article/10.1007/s42864-023-00252-y Acesso em: 16 dez. 2024.
- FRANÇA, R. et al. Effect of Cr cations addition on the structural, morphological, optical, and photocatalytic properties of Er-doped ZnO structures. **Materials Today Communications**, v. 37, p. 107419, 2023a. Disponível em: https://www.sciencedirect.com/science/article/abs/pii/S2352492823021104 Acesso em: 16 dez. 2024.
- FRANÇA, R. et al. Photoresponsive Activity of the Zn0.94Er0.02Cr0.04O Compound with Hemisphere-like Structure Obtained by Co-Precipitation. p. 1–13, 2023b. Disponível em: https://www.mdpi.com/1996-1944/16/4/1446 Acesso em: 16 dez. 2024.

- FREITAS, W. A. et al. Facile synthesis of ZnO-clay minerals composites using an ultrasonic approach for photocatalytic performance. **Journal of Photochemistry and Photobiology A: Chemistry**, v. 429, p. 113934, 2022. Disponível em: https://www.sciencedirect.com/science/article/abs/pii/S1010603022001630 Acesso em: 16 dez. 2024.
- GUO, Y. et al. Advances on Water Quality Detection by UV-Vis Spectroscopy. **Applied Sciences 2020, Vol. 10, Page 6874**, v. 10, n. 19, p. 6874, 30 set. 2020. Disponível em: https://www.mdpi.com/2076-3417/10/19/6874 Acesso em: 08 jan. 2025.
- GUPTA, B. et al. A multivariate modeling and experimental realization of photocatalytic system of engineered S–C3N4/ZnO hybrid for ciprofloxacin removal: Influencing factors and degradation pathways. **Environmental Research**, v. 196, p. 110390, 2021. Disponível em: https://www.sciencedirect.com/science/article/abs/pii/S0013935120312871 Acesso em:16 dez. 2024.
- GURYLEV, V.; PERNG, T. P. Defect engineering of ZnO: Review on oxygen and zinc vacancies. **Journal of the European Ceramic Society**, v. 41, n. 10, p. 4977–4996, 2021. Disponível em: https://www.sciencedirect.com/science/article/abs/pii/S0955221921001801 Acesso em: 16 dez. 2024.
- HARUNA, M. et al. Synthesis of La-doped ZrO2/g-C3N4 nanocomposite for eosin yellow experimental and theoretical photodegradation: A combined studies. 1 Communications, v. 187, p. 106852, fev. 2024. Disponível https://www.sciencedirect.com/science/article/pii/S1566736724000128 Acesso em: 16 dez. 2024.
- HASSAAN, M. A. et al. Central composite design and mechanism of antibiotic ciprofloxacin photodegradation under visible light by green hydrothermal synthesized cobalt-doped zinc oxide nanoparticles. **Scientific Reports**, v. 14, n. 1, p. 1–24, 2024. Disponível em: https://www.nature.com/articles/s41598-024-58961-4 Acesso em: 16 dez. 2024.
- HE, Z. et al. Construction of multifunctional dual Z-scheme composites with enhanced photocatalytic activities for degradation of ciprofloxacin. **Fuel**, v. 294, p. 120399, 2021. Disponível em: https://www.sciencedirect.com/science/article/abs/pii/S0016236121002751 Acesso em: 16 dez. 2024.
- HE, Z. et al. Novel scheme towards interfacial charge transfer between ZnIn2S4 and BiOBr for efficient photocatalytic removal of organics and chromium (VI) from water. **Chemosphere**, v. 303, p. 134973, 2022. Disponível em: https://www.sciencedirect.com/science/article/abs/pii/S0045653522014667 Acesso em: 16 dez. 2024.
- HE, Z. et al. Construction of Cu7S4@CuCo2O4 Yolk—Shell Microspheres Composite and Elucidation of Its Enhanced Photocatalytic Activity, Mechanism, and Pathway for Carbamazepine Degradation. **Small**, v. 19, n. 18, p. 1–14, 2023a. Disponível em: https://onlinelibrary.wiley.com/doi/abs/10.1002/smll.202207370 Acesso em: 16 dez. 2024.
- HE, Z. et al. Elucidation of mechanisms, pathways, and toxicity of fabricated Z-scheme KNbO3/ZnIn2S4 hollow core—shell composites for enhanced ciprofloxacin photodegradation.

- Chemical Engineering Journal, v. 475, p. 146262, 2023b. Disponível em: https://www.sciencedirect.com/science/article/abs/pii/S1385894723049938 Acesso em: 16 dez. 2024.
- HE, Z. et al. Mechanistic insight into the charge carrier separation and molecular oxygen activation of manganese doping BiOBr hollow microspheres. **Journal of Colloid and Interface Science**, v. 629, p. 355–367, 2023c. Disponível em: https://www.sciencedirect.com/science/article/abs/pii/S0021979722015454 Acesso em: 16 dez. 2024.
- HONORIO, L. M. C. et al. Supporting the photocatalysts on ZrO2: An effective way to enhance the photocatalytic activity of SrSnO3. **Applied Surface Science**, v. 528, n. April, p. 146991, 2020. Disponível em: https://www.sciencedirect.com/science/article/pii/S0169433220317487 Acesso em: 16 dez. 2024.
- JERÔNIMO, A. G. et al. Simultaneous La3+ and Cu2+ cations insertion in the ZnO crystal structure and its effect on the structural, optical, and photocatalytic properties. **Journal of Materials Science**, v. 59, n. 4, p. 1280–1297, 2024. Disponível em: https://link.springer.com/article/10.1007/s10853-023-09308-3 Acesso em: 16 dez. 2024.
- KHAN, I. et al. Heterogeneous photodegradation of industrial dyes: An insight to different mechanisms and rate affecting parameters. **Journal of Environmental Chemical Engineering**, v. 8, n. 5, p. 104364, 1 out. 2020. Disponível em: https://www.sciencedirect.com/science/article/abs/pii/S2213343720307132 Acesso em: 16 dez. 2024.
- KHODDAM, M. A. et al. Facile synthesis of ZnO/Hal nanocomposite for arsenite (As(III)) removal from aqueous media. **Scientific Reports**, v. 13, n. 1, p. 1–20, 2023. Disponível em: https://www.nature.com/articles/s41598-023-48531-5 Acesso em: 16 dez. 2024.
- KHORSHIDI, A.; SADEGHI, N. Application of RuO2 Nanoparticles as Catalyst in Preparation of Indolo[3,2-a]Carbazoles. **Journal of Cluster Science**, v. 27, n. 6, p. 1923–1932, 2016. Disponível em: https://link.springer.com/article/10.1007/s10876-016-1052-5 Acesso em: 16 dez. 2024.
- KIM, M. H. et al. Growth direction determination of a single RuO2 nanowire by polarized Raman spectroscopy. **Applied Physics Letters**, v. 96, n. 21, 2010. Disponível em: https://pubs.aip.org/aip/apl/article-abstract/96/21/213108/338864/Growth-direction-determination-of-a-single-RuO2?redirectedFrom=fulltext Acesso em: 16 dez. 2024.
- KUDELSKI, A. Analytical applications of Raman spectroscopy. **Talanta**, v. 76, n. 1, p. 1–8, 30 jun. 2008. Disponível em: https://www.sciencedirect.com/science/article/abs/pii/S0039914008001641 Acesso em: 03 jan. 2025.
- KUMARI, H. et al. A Review on Photocatalysis Used For Wastewater Treatment: Dye Degradation. **Water, Air, & Soil Pollution 2023 234:6**, v. 234, n. 6, p. 1–46, 26 maio 2023. Disponível em: https://link.springer.com/article/10.1007/s11270-023-06359-9 Acesso em: 16 dez. 2024.

- LANDI, S. et al. Use and misuse of the Kubelka-Munk function to obtain the band gap energy from diffuse reflectance measurements. **Solid State Communications**, v. 341, p. 114573, 1 jan. 2022. Disponível em: https://www.sciencedirect.com/science/article/abs/pii/S0038109821003574 Acesso em: 09 jan. 2025.
- LEE, J. et al. Strainer-Separable TiO2 on Halloysite Nanocomposite-Embedded Alginate Capsules with Enhanced Photocatalytic Activity for Degradation of Organic Dyes. **Nanomaterials**, v. 12, n. 14, 2022a. Disponível em: https://www.mdpi.com/2079-4991/12/14/2361 Acesso em: 16 dez. 2024.
- LI, Q.; ANPO, M.; WANG, X. Application of photoluminescence spectroscopy to elucidate photocatalytic reactions at the molecular level. **Research on Chemical Intermediates**, v. 46, n. 10, p. 4325–4344, 1 out. 2020. Disponível em: https://www.sciencedirect.com/science/article/abs/pii/S0022459620304242 Acesso em: 16 dez. 2024.
- LI, Z. et al. Mechanochemical synthesis of novel Pt modified ZnAl-LDH for effective ciprofloxacin photodegradation. **Journal of Solid State Chemistry**, v. 290, p. 121594, 2020. Disponível em: https://link.springer.com/article/10.1007/s11164-020-04209-5 Acesso em: 03 jan. 2025.
- LINS, A. et al. Facile Synthesis of Ni-Doped ZnO Nanoparticles Using Cashew Gum: Investigation of the Structural, Optical, and Photocatalytic Properties. **Molecules**, 25 nov. 2023. Disponível em: https://www.mdpi.com/1420-3049/28/23/7772 Acesso em: 16 dez. 2024.
- M, M. et al. Study of ZnO nanoparticle-supported clay minerals for electrochemical sensors, photocatalysis, and antioxidant applications. **ChemPhysMater**, v. 3, n. 1, p. 83–93, 1 jan. 2024. Disponível em: https://www.sciencedirect.com/science/article/pii/S2772571523000360 Acesso em: 16 dez. 2024.
- MAKAMA, A. B. et al. Influence of parameters and radical scavengers on the visible-light-induced degradation of ciprofloxacin in ZnO/SnS2 nanocomposite suspension: Identification of transformation products. **Chemosphere**, v. 253, p. 126689, 2020. Disponível em: https://pubmed.ncbi.nlm.nih.gov/32304862/ Acesso em: 16 dez. 2024.
- MARTINS, E. et al. Influence of Al cations insertion on the structural, morphological, optical properties, and methyl orange photocatalytic remotion of Pr-doped ZnO system. **Materials Chemistry and Physics**, v. 318, p. 129300, 2024. Disponível em: https://www.sciencedirect.com/science/article/abs/pii/S0254058424004255 Acesso em: 16 dez. 2024.
- MODWI, A. et al. Physicochemical and photocatalytic performance of the synthesized RuO2-ZnO photo-composite in the presence of pectinose solution. **Environmental Nanotechnology, Monitoring & Management**, v. 15, p. 100403, 2021. Disponível em: https://www.sciencedirect.com/science/article/abs/pii/S221515322030386X Acesso em: 16 dez. 2024.
- MORAIS, A. I. S. et al. Semiconductor supported by palygorskite and layered double hydroxides clays to dye discoloration in solution by a photocatalytic process. **Journal of**

- **Environmental Chemical Engineering**, v. 7, n. 6, p. 103431, dez. 2019. Disponível em: https://www.sciencedirect.com/science/article/abs/pii/S2213343719305548 Acesso em: 16 dez. 2024.
- MYLARAPPA, M. et al. Clay incorporated ruthenium oxide nanocomposite for electrochemical, sensor, optical, photocatalytic and antioxidant studies. **Sustainable Chemistry for the Environment**, v. 2, p. 100007, ago. 2023. Disponível em: https://www.sciencedirect.com/science/article/pii/S294983922300007X Acesso em: 16 dez. 2024.
- MYLARAPPA, M.; CHANDRUVASAN, S.; SANDHYA, R. Development of rGO/RuO2 nanocomposite for voltammetric sensors, dye degradation and antioxidant studies. **Materials Chemistry and Physics**, v. 316, p. 129104, 1 abr. 2024. Disponível em: https://www.sciencedirect.com/science/article/abs/pii/S0254058424002293 Acesso em: 16 dez. 2024.
- MZOUGHI, M. et al. Neodymium Doped ZrO2-graphene Oxide Nanocomposites: A Promising Photocatalyst for Photodegradation of Eosin Y Dye. **Advanced Materials Letters**, v. 7, n. 12, p. 946–950, 2016. Disponível em: https://aml.iaamonline.org/article_14791.html Acesso em: 16 dez. 2024.
- NAGAJYOTHI, P. C. et al. Green synthesis: Photocatalytic degradation of textile dyes using metal and metal oxide nanoparticles-latest trends and advancements. **Critical Reviews in Environmental Science and Technology**, v. 50, n. 24, p. 2617–2723, 16 dez. 2020. Disponível em: https://www.tandfonline.com/doi/abs/10.1080/10643389.2019.1705103 Acesso em: 15 jan. 2025.
- NGO, H. S. et al. Experimental Study on Kinetics and Mechanism of Ciprofloxacin Degradation in Aqueous Phase Using Ag-TiO2/rGO/Halloysite Photocatalyst. **Catalysts 2023, Vol. 13, Page 225**, v. 13, n. 2, p. 225, 18 jan. 2023. Disponível em: https://www.mdpi.com/2073-4344/13/2/225 Acesso em: 15 jan. 2025.
- NGUYEN, H. T. et al. Nanoarchitectonics of Ag-modified g-C3N4@halloysite nanotubes by a green method for enhanced photocatalytic efficiency. **Advanced Powder Technology**, v. 33, n. 12, p. 103862, 1 dez. 2022. Disponível em: https://www.sciencedirect.com/science/article/abs/pii/S0921883122004411 Acesso em: 15 jan. 2025.
- OSAJIMA, J. A. et al. Improved remediation of contaminated water using ZnO systems via chemical treatment: applications, implications and toxicological mitigation. **Sustainable Water Resources Management 2023 9:1**, v. 9, n. 1, p. 1–16, 27 jan. 2023. Disponível em: https://link.springer.com/article/10.1007/s40899-023-00818-1 Acesso em: 16 dez. 2024.
- PAPAGEORGIOU, S. K. et al. Metal-carboxylate interactions in metal-alginate complexes studied with FTIR spectroscopy. **Carbohydrate Research**, v. 345, n. 4, p. 469–473, 2010. Disponível em: https://www.sciencedirect.com/science/article/abs/pii/S0008621509005941 Acesso em: 16 dez. 2024.
- PAWAR, H. R.; CHIKATE, R. C. One pot three component solvent free synthesis of N-substituted tetrazoles using RuO2 /MMT catalyst. **Journal of Molecular Structure**, v. 1225,

- p. 128985, 2021. Disponível em: https://www.sciencedirect.com/science/article/abs/pii/S0022286020313089 Acesso em: 16 dez. 2024.
- PEÑA-GARCIA, R. et al. The role of Y on the structural, magnetic and optical properties of Fe-doped ZnO nanoparticles synthesized by sol gel method. **Journal of Magnetism and Magnetic Materials**, v. 498, p. 166085, 2020. Disponível em: https://www.sciencedirect.com/science/article/abs/pii/S0304885319320177 Acesso em: 16 dez. 2024.
- PEÑA-GARCIA, R. et al. Morphological, magnetic and EPR studies of ZnO nanostructures doped and co-doped with Ni and Sr. **Ceramics International**, v. 47, n. 20, p. 28714–28722, 2021. Disponível em: https://www.sciencedirect.com/science/article/abs/pii/S0272884221020575 Acesso em: 16 dez. 2024.
- POUTHIKA, K.; MADHUMITHA, G. Synergistic synthesis of Carrisa edulis fruit extract capped heterogeneous CuO-ZnO-HNT composite for photocatalytic removal of organic pollutants. **Inorganica Chimica Acta**, v. 551, p. 121457, 2023. Disponível em: https://www.sciencedirect.com/science/article/abs/pii/S0020169323000816 Acesso em: 16 dez. 2024.
- PUGA, F.; NAVÍO, J. A.; HIDALGO, M. C. A critical view about use of scavengers for reactive species in heterogeneous photocatalysis. **Applied Catalysis A: General**, v. 685, p. 119879, 25 set. 2024. Disponível em: https://www.sciencedirect.com/science/article/abs/pii/S0926860X24003247 Acesso em: 09 jan. 2025.
- QI, K. et al. Sonochemical synthesis of photocatalysts and their applications. **Journal of Materials Science & Technology**, v. 123, p. 243–256, 1 out. 2022. Disponível em: https://www.sciencedirect.com/science/article/abs/pii/S1005030222002663 Acesso em: 17 dez. 2024.
- RÂPĂ, M. et al. Adsorption of copper (II) from aqueous solutions with alginate/clay hybrid materials. **Materials**, v. 14, n. 23, 2021. Disponível em: https://www.sciencedirect.com/science/article/abs/pii/S1005030222002663 Acesso em: 16 dez. 2024.
- REZAEI, M.; NEZAMZADEH-EJHIEH, A.; MASSAH, A. R. A Comprehensive Review on the Boosted Effects of Anion Vacancy in the Heterogeneous Photocatalytic Degradation, Part II: Focus on Oxygen Vacancy. **ACS Omega**, v. 9, n. 6, p. 6093–6127, 2024. Disponível em: https://pubs.acs.org/doi/full/10.1021/acsomega.3c07560 Acesso em: 16 dez. 2024.
- ROCHA, M. et al. Synthesis of Fe–Pr co-doped ZnO nanoparticles: Structural, optical and antibacterial properties. **Ceramics International**, v. 49, n. 2, p. 2282–2295, 2023. Disponível em: https://www.sciencedirect.com/science/article/abs/pii/S0272884222033752 Acesso em: 16 dez. 2024.
- SAYYAR, Z. et al. Preparation of novel and low-cost chitosan modified with montmorillonite/ZnO hydrogel nanocomposite for adsorption of ciprofloxacin from water.

- **Journal of Water Process Engineering**, v. 63, p. 105449, 2024. Disponível em: https://www.sciencedirect.com/science/article/pii/S2214714424006810 Acesso em:
- SHABIR, M. et al. A review on recent advances in the treatment of dye-polluted wastewater. **Journal of Industrial and Engineering Chemistry**, v. 112, p. 1–19, 25 ago. 2022. Disponível em: https://www.sciencedirect.com/science/article/abs/pii/S1226086X22002556 Acesso em: 16 dez. 2024.
- SHARIATI, A. et al. The resistance mechanisms of bacteria against ciprofloxacin and new approaches for enhancing the efficacy of this antibiotic. **Frontiers in Public Health**, v. 10, p. 1025633, 21 dez. 2022. Disponível em: https://www.frontiersin.org/journals/publichealth/articles/10.3389/fpubh.2022.1025633/full Acesso em: 19 jan. 2025.
- SHARMA, K. et al. Unraveling the synergism mechanistic insight of O-vacancy and interfacial charge transfer in WO3-x decorated on Ag2CO3/BiOBr for photocatalysis of water pollutants: Based on experimental and density functional theory (DFT) studies. **Environmental Research**, v. 260, p. 119610, 1 nov. 2024. Disponível em: https://www.sciencedirect.com/science/article/abs/pii/S0013935124015159 Acesso em: 16 dez. 2024.
- SHUKLA, S. et al. Synergistic impact of photocatalyst and dopants on pharmaceutical-polluted waste water treatment: a review. **Environmental Pollutants and Bioavailability**, v. 33, n. 1, p. 347–364, 1 jan. 2021. Disponível em: https://www.tandfonline.com/doi/full/10.1080/26395940.2021.1987843 Acesso em: 16 dez. 2024.
- SILVA, M. et al. Eco-friendly synthesis of Zn0.97La0.03O compound with natural polysaccharide and its application in methylene blue and eosin dyes discoloration. **Materials Letters**, v. 363, n. December 2023, p. 136256, maio 2024a. Disponível em: https://www.sciencedirect.com/science/article/abs/pii/S0167577X2400394X Acesso em: 16 dez. 2024.
- SILVA, M. C. R. et al. Green Synthesis of Er-Doped ZnO Nanoparticles: An Investigation on the Methylene Blue, Eosin, and Ibuprofen Removal by Photodegradation. **Molecules (Basel, Switzerland)**, v. 29, n. 2, 2024b. Disponível em: https://www.mdpi.com/1420-3049/29/2/391 Acesso em: 16 dez. 2024.
- SOARES, A. et al. Enhanced ciprofloxacin degradation, Fe3+/Fe2+ and oxygen vacancy detection in the Zn0.98Fe0.02O compound synthesized at different pH values. **Materials Letters**, v. 372, p. 137023, 2024a. Disponível em: https://www.sciencedirect.com/science/article/abs/pii/S0167577X24011625 Acesso em: 16 dez. 2024.
- SOARES, A. S. et al. The role of pH on the vibrational, optical and electronic properties of the Zn1-xFexO compound synthesized via sol gel method. **Solid State Sciences**, v. 128, 1 jun. 2022. Disponível em: https://www.sciencedirect.com/science/article/abs/pii/S1293255822000759 Acesso em: 16 dez. 2024.

- SOARES, A. S. et al. Effect of pH on the growth and ibuprofen photocatalytic response of Zn1 xCoxO compound synthesized by the co-precipitation method. **Journal of Materials Research**, v. 38, n. 9, p. 2439–2452, 2023. Disponível em: https://link.springer.com/article/10.1557/s43578-023-00980-4 Acesso em: 16 dez. 2024.
- SOARES, A. S. et al. Nanotubes/nanorods-like structures of La-doped ZnO for degradation of Methylene Blue and Ciprofloxacin. **Journal of Photochemistry and Photobiology A: Chemistry**, v. 447, p. 115235, 2024b. Disponível em: https://www.sciencedirect.com/science/article/abs/pii/S1010603023007001 Acesso em: 16 dez. 2024.
- SOHRABNEZHAD, S.; SEIFI, A. The green synthesis of Ag/ZnO in montmorillonite with enhanced photocatalytic activity. **Applied Surface Science**, v. 386, p. 33–40, 2016. Disponível em: https://www.sciencedirect.com/science/article/abs/pii/S0169433216311217 Acesso em: 16 dez. 2024.
- SZCZEPANIK, B. et al. The effect of chemical modification on the physico-chemical characteristics of halloysite: FTIR, XRF, and XRD studies. **Journal of Molecular Structure**, v. 1084, p. 16–22, 2015. Disponível em: https://www.sciencedirect.com/science/article/abs/pii/S0022286014012113 Acesso em: 16 dez. 2024.
- SZCZEPANIK, B. et al. Synthesis, characterization and photocatalytic activity of TiO2-halloysite and Fe2O3-halloysite nanocomposites for photodegradation of chloroanilines in water. **Applied Clay Science**, v. 149, n. August, p. 118–126, 2017. Disponível em: https://www.sciencedirect.com/science/article/abs/pii/S0169131717303678 Acesso em: 16 dez. 2024.
- TEIXEIRA, A. R. F. A. et al. SrSnO3 perovskite obtained by the modified Pechini method—Insights about its photocatalytic activity. **Journal of Photochemistry and Photobiology A: Chemistry**, v. 369, n. August 2018, p. 181–188, jan. 2019. Disponível em: 10.1016/J.JPHOTOCHEM.2018.10.028 Acesso em: 16 dez. 2024.
- USMAN, U. L. et al. Plant leaves extract assisted eco-friendly fabrication of ZnO-SnO2@Chitosan for UV-induced enhanced photodegradation of single and ternary mixtures of Rhodamine B. **Nano-Structures & Nano-Objects**, v. 37, p. 101072, 1 fev. 2024. Disponível em: 10.1016/J.NANOSO.2023.101072 Acesso em: 16 dez. 2024.
- VALIYATHUR, M. F. et al. Synthesis, characterization and photocatalytic activity of alginate based hybrid material for efficient degradation of organic pollutants under UV light and sunlight irradiation. **Carbohydrate Polymers**, v. 343, p. 122431, 1 nov. 2024. Disponível em: 10.1016/J.CARBPOL.2024.122431 Acesso em: 15 jan. 2025.
- VAYSSIERES, L. Growth of Arrayed Nanorods and Nanowires of ZnO from Aqueous Solutions. **Advanced Materials**, v. 15, n. 5, p. 464–466, 4 mar. 2003. Disponível em: https://onlinelibrary.wiley.com/doi/full/10.1002/adma.200390108 Acesso em: 18 dez. 2024.
- VELEMPINI, T.; PRABAKARAN, E.; PILLAY, K. Recent developments in the use of metal oxides for photocatalytic degradation of pharmaceutical pollutants in water—a review. **Materials Today Chemistry**, v. 19, p. 100380, 1 mar. 2021. Disponível em:

https://www.sciencedirect.com/science/article/abs/pii/S2468519420301403 Acesso em: 16 dez. 2024.

WAN, S. et al. Novel alginate immobilized TiO2reusable functional hydrogel beads with high photocatalytic removal of dye pollutions. **Journal of Polymer Engineering**, v. 42, n. 10, p. 978–985, 1 nov. 2022. Disponível em: https://www.degruyter.com/document/doi/10.1515/polyeng-2022-0017/html Acesso em: 15 jan. 2025.

WANG, H. et al. A review on heterogeneous photocatalysis for environmental remediation: From semiconductors to modification strategies. **Chinese Journal of Catalysis**, v. 43, n. 2, p. 178–214, 1 fev. 2022. Disponível em: https://www.sciencedirect.com/science/article/abs/pii/S1872206721639104 Acesso em: 16 dez. 2024.

WEI, T. et al. Multi-electric field modulation for photocatalytic oxygen evolution: Enhanced charge separation by coupling oxygen vacancies with faceted heterostructures. **Nano Energy**, v. 51, p. 764–773, 2018. Disponível em: https://www.sciencedirect.com/science/article/abs/pii/S2211285518305068 Acesso em: 16 dez. 2024.

WEN, X.-J. et al. Photocatalytic degradation of ciprofloxacin by a novel Z-scheme CeO2–Ag/AgBr photocatalyst: Influencing factors, possible degradation pathways, and mechanism insight. **Journal of Catalysis**, v. 358, p. 141–154, 2018. Disponível em: https://www.sciencedirect.com/science/article/abs/pii/S0021951717304281 Acesso em: 16 dez. 2024.

ZHOU, D. et al. Natural aluminosilicate nanoclay mineral for photocatalytic applications: Influence of the surface properties in photocatalysis. **Applied Clay Science**, v. 249, p. 107240, 2024. Disponível em: https://www.sciencedirect.com/science/article/abs/pii/S0169131723004271 Acesso em: 16 dez. 2024.

ZSIRKA, B. et al. Halloysite-Zinc Oxide Nanocomposites as Potential Photocatalysts. **Minerals**, v. 12, n. 4, 2022. Disponível em: https://www.mdpi.com/2075-163X/12/4/476 Acesso em: 16 dez. 2024.

ZYOUD, A. et al. Photocatalytic degradation of aqueous methylene blue using ca-alginate supported ZnO nanoparticles: point of zero charge role in adsorption and photodegradation. **Environmental Science and Pollution Research**, v. 30, n. 26, p. 68435–68449, 1 jun. 2023. Disponível em: https://link.springer.com/article/10.1007/s11356-023-27318-1 Acesso em: 16 dez. 2024.